

Министерство нефтяной промышленности

СОГЛАСОВАНО

Начальник Управления по
развитию техники, технологии
и организации добычи нефти
и газа

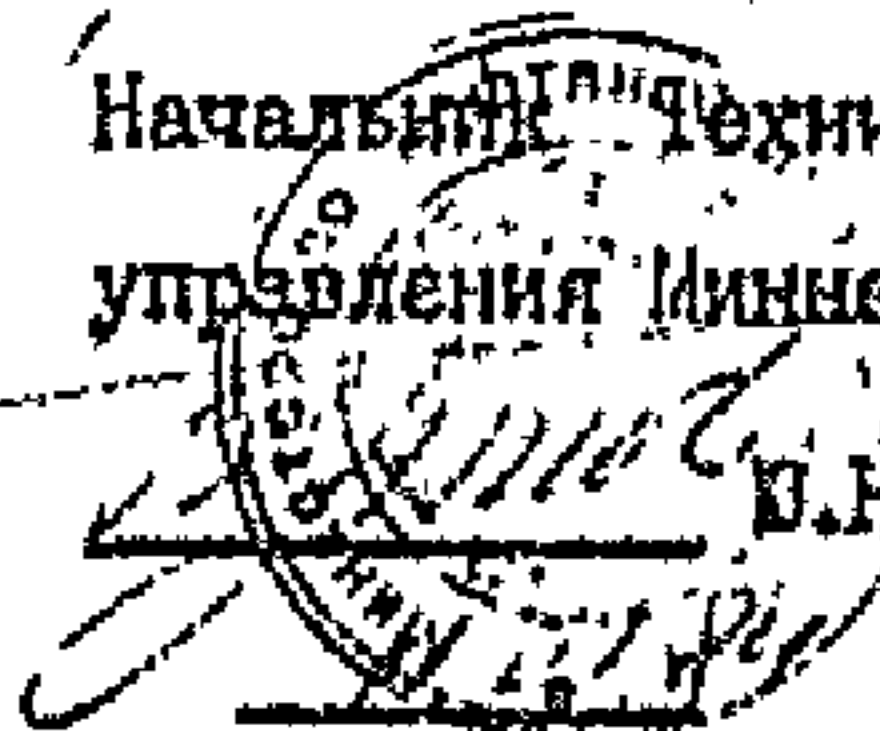
Гнатченко В.В.Гнатченко

11.01.84.

УТВЕРЖДАЮ

Начальник Технического
управления Миннефтепрома

Байдиков Б.Н.Байдиков



РУКОВОДЯЩИЙ ДОКУМЕНТ

Метод оптимизации режима работы нефтяных скважин,
оборудованных УЭЦН, с учетом пространственных
параметров ствола скважин

РД 39-Э-1008-84

НАСТОЯЩИЙ ДОКУМЕНТ РАЗРАБОТАН :

Башкирским государственным научно-исследовательским и проектным
институтом нефтяной промышленности / Башнипинефть /

Директор, канд.техн.наук Н.Ф.Кагарманов Н.Ф.Кагарманов

Ответственные
исполнители:

Зав.сектором добычи нефти
электропогружными насосами,
руководитель разработки,
канд.техн.наук

Ст.инженер

Ст.инженер

М.Вахитов
28.12.83 М.Ф.Вахитов

Д.Б.Салманова
Д.Б.Салманова

З.Р.Кутдусова
З.Р.Кутдусова

Продолжение титульного листа

Соисполнители:

Зав.отделом инженерных задач
ЮИЦ ПО Башнефть

Узбеков
29.12.83

Р.Б.Узбеков

Ст. инженер

Шульман
28.11.83

Б.Л.Шульман

Доцент Уфимского нефтяного
института, канд. техн. наук

Кутумов Р.Я.Кутумов

Начальник СОИ НГДУ Арланнефть

Хафизов

Р.Х.Хафизов

Начальник БПО НГДУ Арланнефть

Нагаев

Ф.М.Нагаев

Начальник СОИ НГДУ

Закиров

Арланнефть

С.С.Закиров

СОГЛАСОВАНО

Директор ВНИИ, д-р техн. наук

Вахитов Г.Г.Вахитов

Главный инженер ПО Башнефть
канд. техн. наук

Галимов М.Н.Галимов

Директор ЮИЦа ПО Башнефть

Батталов
29.12.83

Р.Н.Батталов

УДК 622.276.53.054.23:62I.67-83

Настоящий метод оптимизации предназначен для решения задач по подбору установок погружных центробежных электромоторов к скважинам с учетом кривизны ствола скважин.

Пространственный угол искривления ствола скважин рассчитывается с использованием данных по замерам зенитного и азимутального углов, полученных при инклинометрировании ствола скважины. Выбор интервала подвески насоса проводится с учетом вписываемости оптимального типоразмера УЭЦН в обсадной колонне.

С целью повышения точности определения необходимого напора насоса и глубины его подвески вводится метод расчета распределения давления по насосно-компрессорным трубам для вертикальных и наклонно направленных скважин. При подборе УЭЦН к скважинам с обводненностью продукции 35-75% учитываются дополнительные потери давления на трение из-за увеличения вязкости водонефтяной смеси.

Исполнители: М.Ф. Вахитов, канд.техн.наук, Д.Б.Сальманова, З.Р.Кутдусова, Р.Б.Узбеков, Р.Я.Кучумов, канд.техн.наук, Б.Л.Шульман, Р.Х.Хафизова, Ф.М.Нагаев, С.С.Закиров.

РУКОВОДЯЩИЙ ДОКУМЕНТ

МЕТОД ОПТИМИЗАЦИИ РЕЖИМА РАБОТЫ НЕФТЯНЫХ СКВАЖИН,
ОБОРУДОВАННЫХ УЭЦН, С УЧЕТОМ ПРОСТРАНСТВЕННЫХ
ПАРАМЕТРОВ СТВОЛА СКВАЖИН

РД 39-3-1008-84

Вводится впервые

Приказом производственного ордена Ленина и ордена Трудового Красного Знамени объединения Башнефть от 15.02.84 № 60
срок введения установлен с 20.02.84
до 01.01.89

Настоящий руководящий документ распространяется на метод оптимизации режима работы добывающих скважин, оборудованных погружными центробежными электронасосами (ЭЦН), и устанавливает правила подбора установок погружных ЭЦН с учетом кривизны ствола скважин и потерь давления на трение при подъеме вязких жидкостей.

Критерием оптимизации является прирост добычи нефти и увеличение межремонтного периода работы скважин за время использования УЭЦН в скважине.

Руководящий документ обязательен для всех предприятий объединения Башнефть.

I. ОБЩИЕ ПОЛОЖЕНИЯ

I.I. Процесс оптимизации режима работы скважин, оборудованных ЭЦН, включает следующие виды работ:

- выявление фонда скважин для проведения технологических

мероприятий по оптимизации режимов работы скважин и оборудования;

- подбор установок ЭЦН к скважинам и выдача рекомендаций по оптимизации;
- внедрение рекомендаций.

1.2. Условные обозначения, принятые в настоящем руководящем документе:

- ℓ - расстояние по оси скважины, м;
- h - расстояние по вертикали, м;
- β - зенитный угол скважины, град;
- φ - азимутальный угол скважины, град;
- α - пространственный угол, град;
- ψ - угол отклонения скважины от вертикали, град;
- R - радиус кривизны, м;
- d_1 - внутренний диаметр обсадной колонны, м;
- d_2 - габаритный поперечный размер УЭЦН, м;
- λ - диаметр насосно-компрессорных труб (НКТ), см;
- $Q_{m,n}$ - допустимая производительность УЭЦН, $m^3/\text{сут}$;
- Q_n - дебит нефти, $m^3/\text{сут}$;
- $Q_{ж}$ - дебит жидкости, $m^3/\text{сут}$;
- V_{min} - скорость движения охлаждающей жидкости, $m/\text{с}$;
- P_u - давление на устье скважины, МПа;
- P_n - давление насыщения нефти, МПа;
- ΔP - интервал изменения давления или шаг по давлению, МПа;
- $P_{вык}$ - давление на выкиде ЭЦН, МПа;
- $P_{нас}$ - давление, развиваемое насосом, МПа;
- $P_{оp}$ - давление на приеме ЭЦН, МПа;
- $P_{пл}$ - пластовое давление, МПа;
- P_z - забойное давление, МПа;
- P_f - давление фонтанирования, МПа;

$\frac{dp}{dn}$ - градиент давления МПа/м ;

G_o - газовый фактор при давлении насыщения, m^3/m^3 ;

G_{pl} - пластовый газовый фактор, m^3/m^3 ;

Γ - газонасыщенность;

S - количество растворенного в нефти газа при давлении P , m^3/m^3 , определяется из зависимости $G_o = f(P)$;

β_n - объемный коэффициент нефти при давлении P , определяется из зависимости $\beta_n = f(P)$;

β_g - объемный коэффициент газа, m^3/m^3 ;

b - обводненность, %;

A - водонефтяной фактор, m^3/m^3 ;

ρ_n - плотность дегазированной нефти, кг/ m^3 ;

ρ_g - плотность газа, кг/ m^3 ;

ρ_w - плотность воды, кг/ m^3 ;

ρ_{sm} - плотность смеси, кг/ m^3 ;

M - масса 1 m^3 смеси, извлекаемой из скважины, кг;

V_{sm} - объем 1 m^3 смеси в НКТ при давлении P , m^3/m^3 ;

T_z - температура потока на забое скважины, К;

T_y - температура потока на устье скважины, К;

T_{cr} - средняя температура в НКТ, К;

Z - коэффициент сжимаемости газа при давлении P и температуре T_{cr} ;

f - коэффициент трения;

g - ускорение свободного падения, $9,8 m/s^2$;

H_d - динамический уровень, м;

H_{pod} - глубина подвески ЗН, м;

$L_{скв}$ - глубина скважины до середины интервала перфорации, м;

K - коэффициент продуктивности, $m^3/\text{сут}/\text{МПа}$.

1.3. Значения плотности водонефтяной смеси ^{для расчета} по данным НГДУ Арланнефть и Іжарланнефть в зависимости от обводненности по условно вертикальным скважинам сведены в табл. I.

Таблица I

Группы	Плотность жидкости, кг/ м ³	
	выше приема насоса	ниже приема насоса
1. Безводная	800	840
2. $Q_{ж}^c < 10$, 3 + 20 % воды	740	смеси
3. $Q_{ж}^c < 10$, 20 + 60 % воды	900	воды
4. $Q_{ж}^c < 10$, 3 + 20 % воды	820	смеси
5. $Q_{ж}^c < 10$, 20 + 60 % воды	850	смеси
6. Для всех, если вода 60 %	870	воды

2. МЕТОД РАСЧЕТА ПРОСТРАНСТВЕННЫХ ПАРАМЕТРОВ СТВОЛА СКВАЖИНЫ ПО ДАННЫМ ИНКЛЮНОМЕТРИИ

Профиль скважин по данным инклинометрии задается точками с фиксированными расстояниями ℓ_i от устья скважины и значениями зенитного и азимутального углов β_i и ψ_i соответственно.

Расчет пространственных параметров ствола скважин сводится к задаче аппроксимации кривизны и декартовых координат вдоль скважины по имеющимся данным β_i , ψ_i , ℓ_i , $i = 1, 2, \dots, N$ (рис. I). Примем устье за нулевую точку и предположим $\beta_0 = \psi_0 = \ell_0 = 0$. Определение декартовых координат x_i , y_i ,

g

**Расчетная схема определения
пространственных параметров ствола скважины**

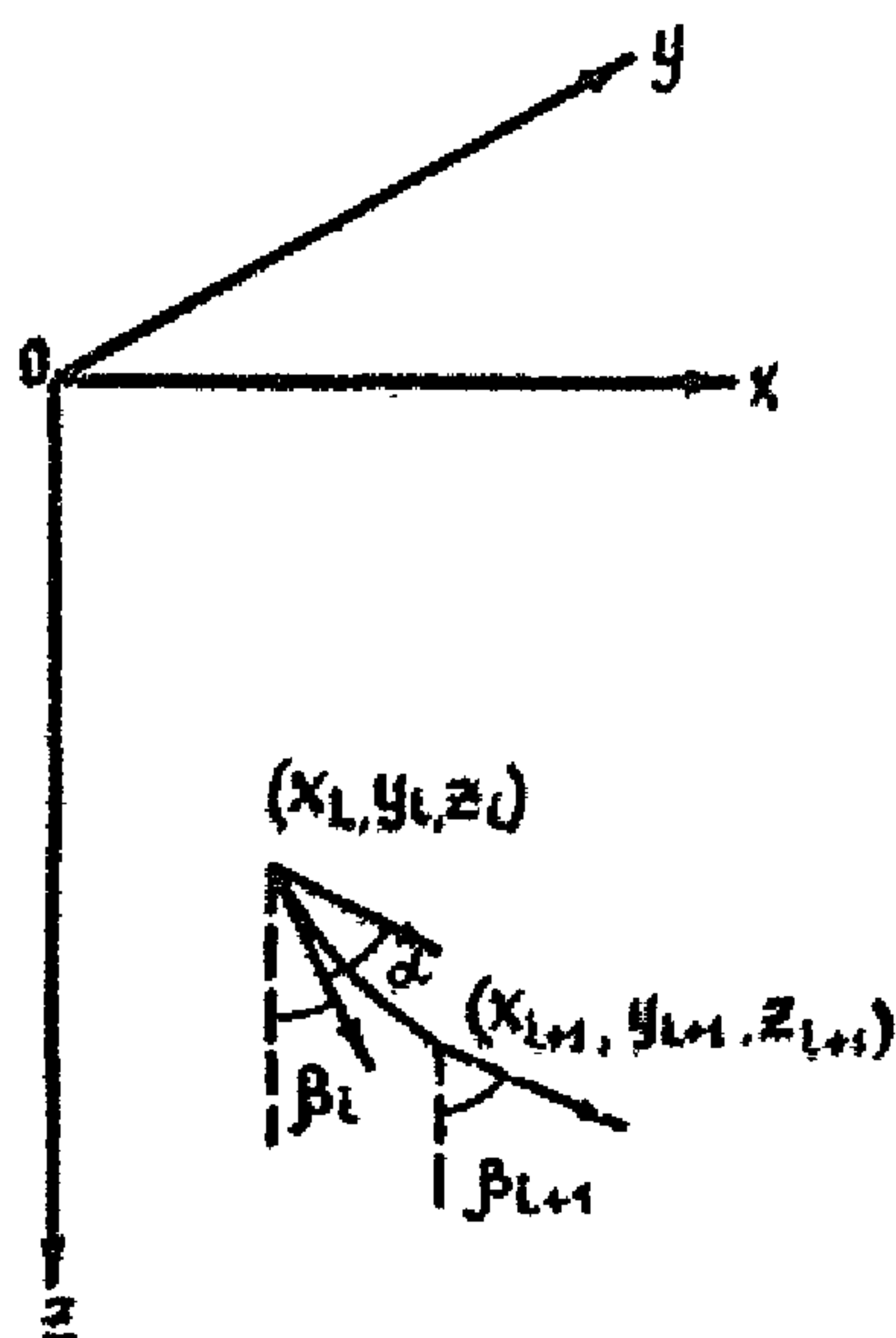


Рис. 1

\tilde{z}_i и кривизны K_i в i -ой точке проводится по нижеследующим рекурентным формулам, построенным из расчета, что участок скважины между i -ой и $(i+1)$ -ой точками лежит в плоскости, определяемой направлениями (β_i, φ_i) ($\beta_{i+1}, \varphi_{i+1}$) и точкой (X_i, Y_i, Z_i) , и представляет собой дугу окружности, выходящую из точки (X_i, Y_i, Z_i) , и касающуюся своими концами направлений (β_i, φ_i) и $(\beta_{i+1}, \varphi_{i+1})$.

$$X_{i+1} = X_i + \frac{\ell_{i+1} - \ell_i}{d_{i+1}} \operatorname{tg} \alpha_{i+1} \left(\sin \beta_i \cos \varphi_i + \sin \beta_{i+1} \cos \varphi_{i+1} \right) \quad (1)$$

$$Y_{i+1} = Y_i + \frac{\ell_{i+1} - \ell_i}{d_{i+1}} \operatorname{tg} \alpha_{i+1} \left(\sin \beta_i \sin \varphi_i + \sin \beta_{i+1} \sin \varphi_{i+1} \right) \quad (2)$$

$$Z_{i+1} = Z_i + \frac{\ell_{i+1} - \ell_i}{d_{i+1}} \operatorname{tg} \alpha_{i+1} (\cos \beta_i + \cos \beta_{i+1}) \quad (3)$$

$$K_{i+1} = \frac{\alpha}{\ell_{i+1} - \ell} \quad i = 0, 1, 2, \dots, N \quad (4)$$

где α - угол между направлениями (β_i, φ_i) и $(\beta_{i+1}, \varphi_{i+1})$

$$\alpha = \arccos [\sin \beta_i \sin \beta_{i+1} \cos (\varphi_i - \varphi_{i+1}) + \cos \beta_i \cos \beta_{i+1}] \quad (5)$$

Здесь предполагается, что центр рассматриваемой декартовой системы координат O находится в устье скважины, ось OZ направлена вертикально вниз, ось OY направлена горизонтально на север, OX - на запад и $X_0 = Y_0 = Z_0 = 0$. Ясно, что если профиль скважины плоский, то тогда в формуле (5) $\varphi_{i+1} - \varphi_i = 0$ и значит $\alpha = (\beta_{i+1} - \beta_i)$, т.е. в этом случае предлагаемая формула подсчета кривизны совпадает с общепринятой.

При расчетах по формулам (I, 2, 3) с ростом номера i должна накапливаться погрешность в определении координат. Вопрос о точности аппроксимации (I, 2, 3) решался следующим образом. Была рассмотрена гипотетическая скважина с плоским профилем глубиной 2000 м, состоящая из вертикально прямолинейного участка длиной 300 м, дуги окружности с радиусом 680 м и раствором 60° выпуклой вниз и дуги окружности с радиусом 2720 м выпуклой вверх. Положив $\ell_1 = 50$ м, определим точные значения x_i, y_i, z_i, k_i и приближенные, рассчитанные по формулам (I, 2, 3). Относительная ошибка при этом оказалась порядка 0,01 % (см.табл. 2), что говорит о приемлемости предложенных формул. На том же примере было исследовано влияние точности измерения величин $\beta_i, \varphi_i, \ell_i$ на значение относительной ошибки δ , возникающей при использовании формул (I, 2, 3). К величинам $\beta_i, \varphi_i, \ell_i$ прибавили случайные ошибки, равномерно распределенные симметрично около нуля в интервалах $[-\delta_\beta, \delta_\beta]$, $[-\delta_\varphi, \delta_\varphi]$, $[-\delta_\ell, \delta_\ell]$, соответственно и по рекурентным формулам многократно вычислялись величины декартовых координат x_i, y_i, z_i , кривизны K_i и соответствующие относительные ошибки. В табл. 2 приведены усредненные относительные ошибки $\tilde{\delta}$ для $i = N$, т.е. для точки забоя. Оказалось, что для того, чтобы величина $\tilde{\delta}$ была бы порядка 1 %, достаточно измерять ℓ_i с точностью до 1 м, а углы β_i и φ_i с точностью до 1° . При этом следует отметить, что если вдоль скважины угол падения β в среднем не велик, то азимутальный угол φ достаточно измерять с меньшей точностью, поскольку в формулах (I, 2, 3) все величины, зависящие от φ_i умножаются на $\sin \beta_i$, т.е. на малую величину.

Таблица 2

$\Delta \tilde{z}$ Случайная ошибка	Максимальное отклонение X от $X=0$	Максимальное значение $b_y, \%$	Максимальное значение $b_e, \%$	Максимальное значение $b_n, \%$
$\tilde{b}l = 0$ м 1. $\tilde{b}_\beta = 0^\circ$ $\tilde{b}_\gamma = 0^\circ$	0,0002	0,0021	0,0012	0,0093
$\tilde{b}l = 1$ м 2. $\tilde{b}_\beta = 1^\circ$ $\tilde{b}_\gamma = 1^\circ$	0,1237	1,7781	0,4033	0,0726
$\tilde{b}l = 1$ м 3. $\tilde{b}_\beta = 30^\circ$ $\tilde{b}_\gamma = 30^\circ$	0,1144	0,8889	0,18919	0,0764
$\tilde{b}l = 1$ м 4. $\tilde{b}_\beta = 15^\circ$ $\tilde{b}_\gamma = 15^\circ$	0,0758	0,4445	0,0820	0,0780
$\tilde{b}l = 0,5$ м 5. $\tilde{b}_\beta = 30^\circ$ $\tilde{b}_\gamma = 30^\circ$	0,1144	0,8890	0,2017	0,0764
$\tilde{b}l = 1$ м 6. $\tilde{b}_\beta = 2^\circ$ $\tilde{b}_\gamma = 2^\circ$	0,0126	0,0594	0,0109	0,0662
$\tilde{b}l = 1$ м 7. $\tilde{b}_\beta = 2^\circ$ $\tilde{b}_\gamma = 1^\circ$	0,3655	0,05997	0,0109	0,0662
$\tilde{b}l = 1$ м 8. $\tilde{b}_\beta = 1^\circ$ $\tilde{b}_\gamma = 2$	0,0031	1,7777	0,40334	0,07257

3. ВЫБОР ИНТЕРВАЛА УСТАНОВКИ УЭЦН В НАКЛОННО НАПРАВЛЕННЫХ И ИСКРИВЛЕННЫХ СКВАЖИНАХ

Выбор интервала установки УЭЦН в наклонно направленных и искривленных скважинах проводится для каждого типоразмера УЭЦН с условием вписываемости насоса в выбранный интервал без изгиба /1/.

На рис. 2 приведена схема расчета условий вписываемости УЭЦН на искривленном участке ствола скважины.

Очевидно соотношение

$$\alpha = \frac{360 L}{2\pi R} \quad (6)$$

Величина R определяется из прямоугольного треугольника AON

$$R = \frac{\ell^2}{8(d_1 - d_2)} \quad (7)$$

Подставляя (7) в (6) принимая $L = 10$ м, получим

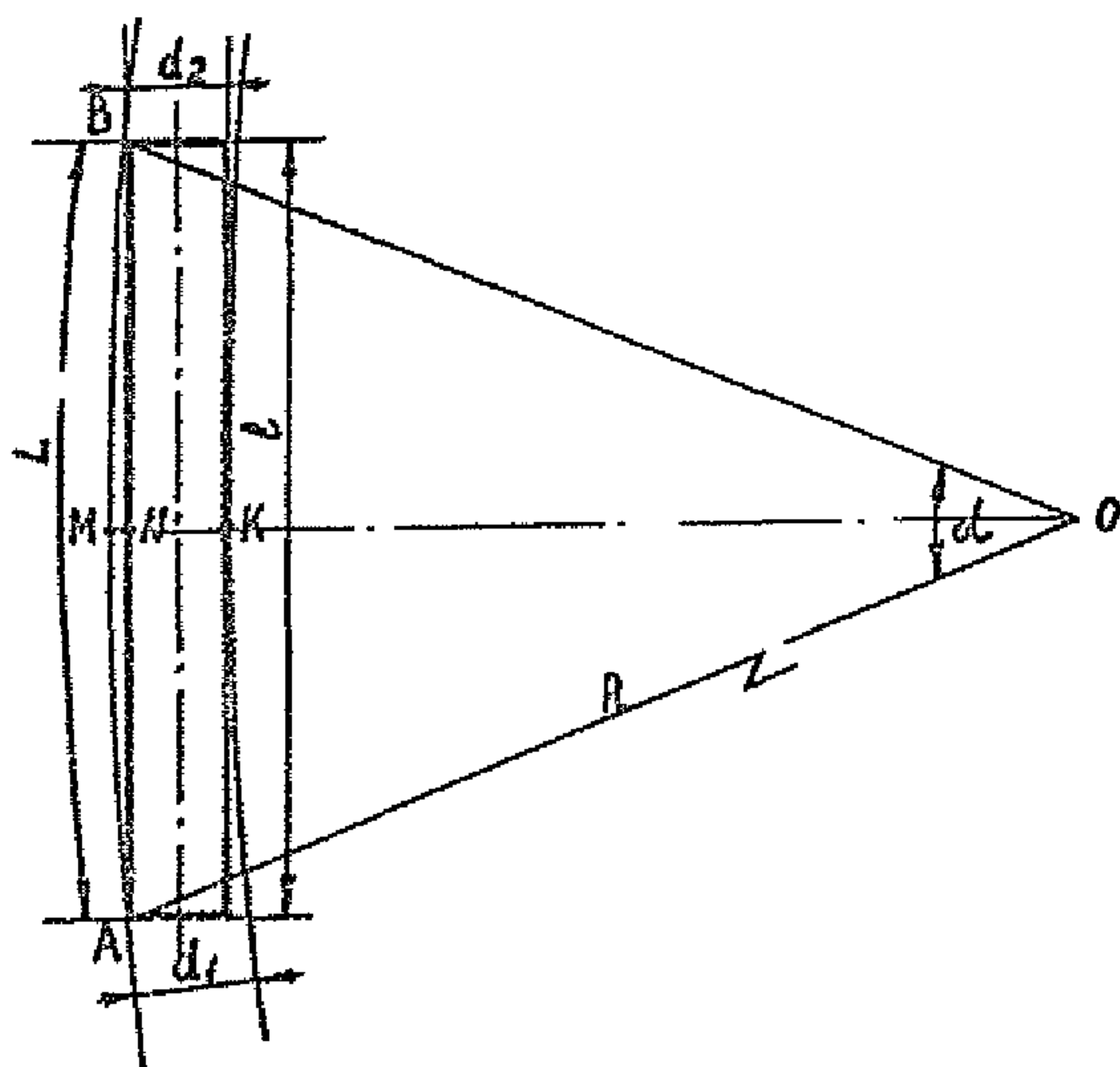
$$\alpha = \frac{4586(d_1 - d_2)}{\ell^2} \quad (8)$$

где размерности: α - град/10 м, ℓ , d_1 , d_2 - м.

По формуле (8) производятся расчеты максимально допустимой кривизны обсадной колонны, обеспечивающей работу УЭЦН в скважине без изгиба.

В приложении I приведены расчетные данные для всех типоразмеров УЭЦН.

**Схема расчета условий вписываемости
УЭЦН на искривленном участке ствола
скважины**



- R - радиус искривления,
- L - длина искривленного участка,
- t - длина УЭЦН,
- d_1 - внутренний диаметр ствола скважины,
- d_2 - максимальный поперечный размер УЭЦН.

Рис.2

4. ВЫБОР ПОГРУЖНОГО ЭЛЕКТРОДВИГАТЕЛЯ К УЭЦН

Условие охлаждения электродвигателя (ПЭД) обеспечивается при определенной производительности УЭЦН в зависимости от внутреннего диаметра обсадной колонны.

Расчет минимально допустимого дебита производится в следующей последовательности:

- определяется площадь кольцевого пространства ΔF как разность площадей поперечного сечения обсадной колонны F_1 и погружного электродвигателя F_2

$$\Delta F = F_1 - F_2 = \frac{\pi}{4} (d_1^2 - d_2^2). \quad (9)$$

Минимально допустимая скорость движения охлаждающей жидкости V_{min} для каждого типоразмера ПЭД определяется из каталога "Установки погружных центробежных насосов для нефтяной промышленности". ОКБ ВН, М., 1980. Допустимая производительность УЭЦН, выше которой соблюдается условие охлаждения ПЭД, определяется по формуле

$$Q_{min}^{dop} = \Delta F \cdot V_{min} \quad (10)$$

Результаты расчетов приведены в приложении 3. Анализ этих данных позволяет предложить следующие рекомендации:

1. Не рекомендуется применение ПЭД 28-103AB5 с УЭЦН-5 в скважинах с 168 мм колоннами без разработки и применения специальных защитных устройств по охлаждению ПЭД.
2. Возможно применение ПЭД 40-103AB5 с УЭЦН5-80, 130, 200 в скважинах с условным диаметром до 168 мм.
3. Возможно применение УЭЦН5А в скважинах с обсадной колонной 168 мм кроме УЭЦН5А-100-1350 с ПЭД45-117AB5,

УГДН5А-250-І400 и УГДН5А-360-ІІ00 с ПЭД 90-ІІ7АВ5.

Рекомендуется применение этих установок в скважинах с обсадной колонной 168 мм при замене ПЭД 45-ІІ7АВ5 на ПЭД40-І0ЗАВ5 и ПЭДС 90-ІІ7АВ5 на ПЭД 100-І23АВ5.

5. РАСПРЕДЕЛЕНИЕ ДАВЛЕНИЯ В НАСОСНО-КОМПРЕССОРНЫХ ТРУБАХ НЕФТЯНЫХ СКВАЖИН

Возможность анализа, а также прогнозирования режима работы нефтяных скважин в значительной степени зависит от распределения давления при подъеме газожидкостной смеси в насосно-компрессорных трубах. В результате теоретических и промышленных исследований установлено, что для расчета давления на приеме и выше погружного электроцентробежного насоса применимы известные методы расчета распределения давления в НКТ / 2, 3, 4, 5 /.

5.1. Алгоритм расчета распределения давления в НКТ

Распределение давления рассчитывается по методу Поунтмана и Карпентера.

5.1.1. Определение поинтервальной плотности газожидкостной смеси в НКТ.

Плотность смеси при давлении P определяется по формуле

$$\rho_{cm} = \frac{M}{V_{cm}}, \quad (II)$$

где

$$M = \rho_n + G_0 \rho_r + A \rho_b, \quad (I2)$$

$$A = \frac{6}{100 - 6} : \quad (I3)$$

$$V_{cm} = \beta_H + \beta_r (G_0 - S) + A . \quad (I4)$$

$$\beta_r = \frac{\rho_{cm} T_{cm}}{P T_{cm}} , \quad (I5)$$

где $\rho_{cm} = 0,1$ МПа

$$T_{cm} = 273,2 + 15,6 = 288,8 \text{ К}$$

$$T_{cp} = \frac{T_3 + T_4}{2} \quad (I6)$$

5.1.2. Определение поинтервальных градиентов давления

$$\frac{dP}{dh} = \rho_{cm} + \kappa \rho_{cm}$$

или

$$\left(\frac{\Delta P}{\Delta h} \right)_{cp} = \bar{\rho}_{cm} + \kappa \rho_{cm} , \quad (I7)$$

где $\left(\frac{\Delta P}{\Delta h} \right)_{cp}$ - среднее значение градиента давления, соответствующее давлениям P_1 и P_2 , выбранным через интервал ΔP .

Величина κ для НКТ при давлениях P_1, P_2, \dots, P_n определяется по формуле

$$\kappa = \frac{f Q_n^2 M^2}{2,25 \rho_{cm}^2 \Delta s} , \quad (I8)$$

где f - коэффициент трения, определяемый из графика (рис. 3) / 3 /. Параметр Δs для НКТ определяется по формуле

$$\Delta s = \frac{10^{-3} Q_n M}{\Delta P} . \quad (I9)$$

При добыче обводненной продукции дебит нефти опре-

Зависимость коэффициента трения
от параметра D_{pv}

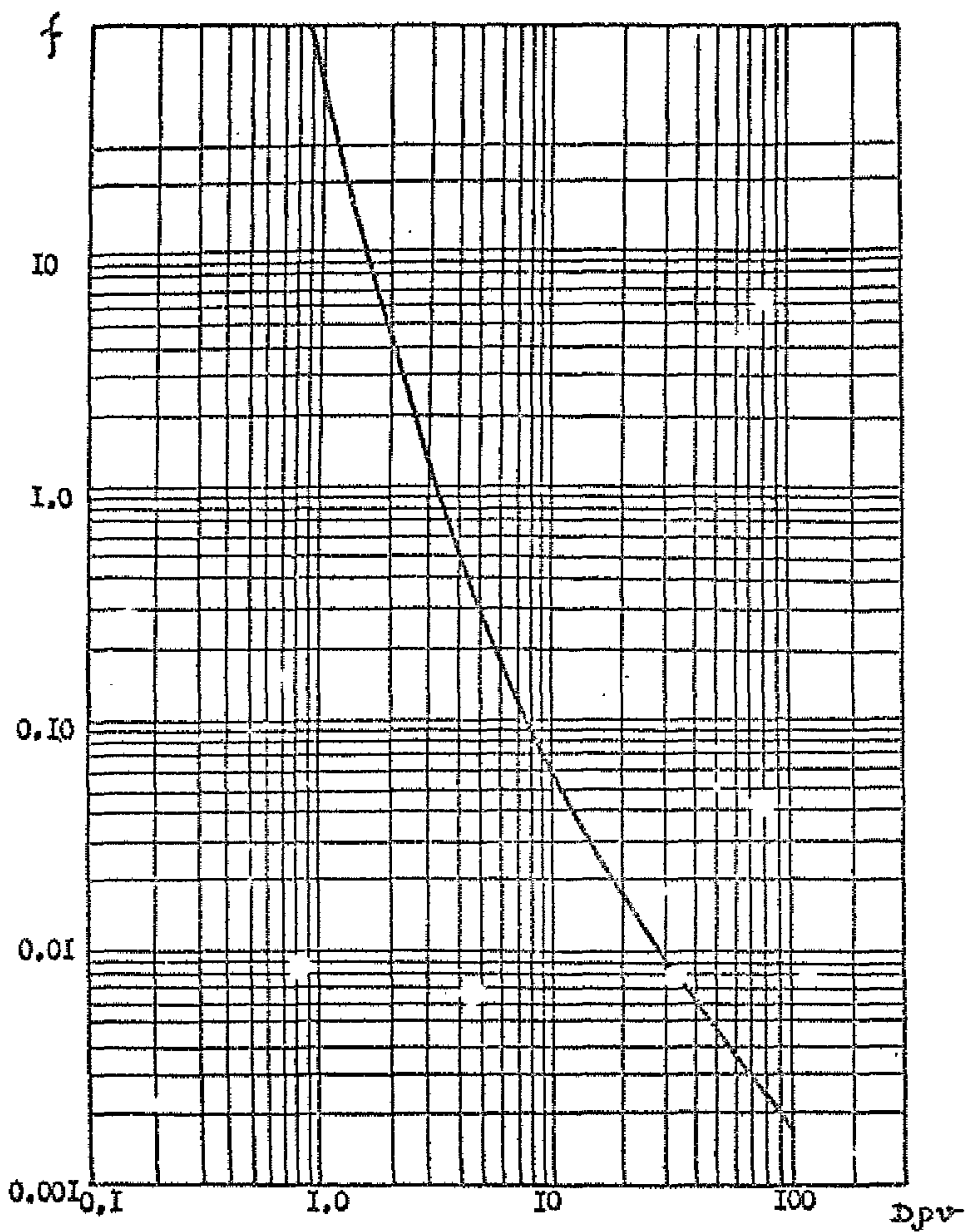


Рис. 3

деляется по формуле

$$Q_n = \frac{Q_{ж}}{1 + \Lambda} \quad (20)$$

5.1.3. Глубина Δh , соответствующая интервалу изменения давления ΔP определяется по формуле

$$\Delta h = \frac{\Delta P \cdot 10^4}{\left(\frac{\Delta P}{\Delta h} \right)_{ср}} \quad (21)$$

5.1.4. Определение профиля давления в НКТ.

Суммируется каждое последующее значение Δh с предыдущим последовательно. Например, $P_4 = P_1$, соответствующая глубина $h = 0$:

$$\begin{aligned} P_2 &\longrightarrow \Delta h = h_2; \\ P_3 &\longrightarrow \Delta h_1 + \Delta h_2 = h_3; \\ P_4 &\longrightarrow \Delta h_3 + h_4 = h_4; \\ &\dots \\ P_n &\longrightarrow h_{n-1} + \Delta h_{n-1}. \end{aligned}$$

Строится график распределения давления в координатах P , H .

5.1.5. Расчет распределения давления в НКТ наклонно направленной скважины проводится с учетом угла отклонения скважины от вертикали. Поправка к кривой распределения давления вводится по формуле

$$\Delta l = \frac{\Delta h}{\cos \varphi} \quad (22)$$

5.2. Определение газонасыщенности на приеме насоса

Газонасыщенность на приеме насоса определяется по формуле

$$\Gamma_{ap} = \frac{Q_{г.пр}}{Q_{ж.пр} + Q_{г.пр}}, \quad (23)$$

где $Q_{\text{г.пр}}$ – объемный расход свободного газа на приеме насоса, $\text{м}^3/\text{сут}$;

$$Q_{\text{г.пр}} = \beta_r (G_o - s) Q_n \quad (24)$$

$Q_{\text{ж.пр}}$ – объемный расход жидкости на приеме насоса, $\text{м}^3/\text{сут}$.

$$Q_{\text{ж.пр}} = Q_n \beta_n (1 + A) \quad (25)$$

Подставляя формулы (24) и (25) в (23), получаем

$$\Gamma_{\text{пр}} = \frac{\beta_r (G_o - s)}{\beta_n (1 + A) + \beta_r (G_o - s)}, \quad (26)$$

Если пластовый газовый фактор $G_{\text{пл}}$ превышает количество растворенного газа при давлении насыщения, то газонасыщенность определяется по формуле

$$\Gamma_{\text{пр}} = \frac{\beta_r (G_{\text{пл}} - s)}{\beta_n (1 + A) + \beta_r (G_{\text{пл}} - s)}. \quad (27)$$

5.3. Определение давления на выкиде насоса

Давление на выкиде насоса определяются по кривой распределения давления ^и соответствует глубине подвески насоса. Расчет проводится от известного значения устьевого давления

Давление на выкиде насоса определяется формулой

$$P_{\text{вык}} = P_{\text{нас}} + P_{\text{пр}} \quad (28)$$

5.4. Оптимизация работы УЭЦН по существующему режиму скважины

По существующему режиму рассчитывается распределение давления в НКТ до забоя скважины при известных P_u , $Q_{\text{эк}}$, $H_{\text{под}}$,

По графику распределения давления определяется давление на выкиде насоса на глубине подвески и давление фонтанирования на интервале перфорации.

Давление, развиваемое насосом, определяется по формуле $P_{\text{нас}} = P_{\Phi} - P_3$ при известном забойном давлении. По графику устанавливается соответствие между $P_{\text{нас}}$ и $H_{\text{дин}}$.

Критерием для оценки оптимальности режима системы скважина-насос является величина коэффициента подачи насоса $(0,7 \leq K_{\text{под}} \leq 1,1)$ и степень использования добывных возможностей скважины, определяемая динамическим уровнем (СМ 991-39.03-01Э-81). Если $K_{\text{под}}$ находится в интервале $(0,7-1,1)$, а динамический уровень высокий, то оценивается возможность подбора более высокопроизводительного насоса. Если $K_{\text{под}} < 0,7$, а динамический уровень низкий, то оценивается возможность подбора менее производительного насоса или ШГН.

Соответственно определяется:

- забойное давление по формуле

$$P_3 = P_{\text{бл}} - \frac{Q}{K}, \quad (29)$$

- напор насоса $P_{\text{нас}} = P_{\Phi} - P_3$

- необходимый напор насоса в метрах

$$H_{\text{нас}} = H_a + \frac{P_y}{\rho_{\text{ж}} \cdot g} \quad (30)$$

При совпадении или приближении необходимого напора к напору ЭЦН по характеристике – насос считается выбранным.

При подборе УЭЦН к скважине, выводимой из бурения, выбирается минимальное забойное давление P_3^{\min} по результатам

анализа работы фонда скважин (СТП 991-39.03-013-81).

Определяется дебит скважины $Q = \kappa (P_{\text{пл}} - P_3^{\text{min}})$

Дальнейшее решение задачи аналогично предыдущему.

Глубина подвески ЭЦН может определяться погружением насоса под динамический уровень или предельным газосодержанием на приеме ЭЦН. При учете газосодержания в расчет распределения давления вводится расчет поинтервальной газонасыщенности.

Поскольку кривые распределения давления, для различных дебитов при одной обводненности в условиях конкретной залежи в основном совпадают, то при решении задач оптимизации рекомендуется пользоваться зависимостями $P_{\text{ф}} = f(n)$ для различных обводненностей.

5.5. Определение коэффициента продуктивности скважины

Для определения коэффициента продуктивности скважины, оборудованной ЭЦН, проводится поинтервальный замер давления по насосно-компрессорной трубе до выкида насоса или же рассчитывается распределение давления по существующему режиму.

По замеру динамического уровня в скважине определяется давление, развиваемое насосом, $P_{\text{нас}}$.

Определяется давление фонтанирования скважины, продолжив кривую распределения давления до забоя скважины.

Определяется забойное давление

$$P_3 = P_{\text{ф}} - P_{\text{нас}} \quad (31)$$

Определяется коэффициент продуктивности

$$\kappa = \frac{Q}{P_{\text{пл}} - P_3} \quad . \quad (32)$$

6. МЕТОД ПОДБОРА ЭЦН ПРИ ПОДЪЕМЕ ВЯЗКОЙ ЖИДКОСТИ

При насосной добычи нефти в пределах обводненности 35 - 75 % образуются высоковязкие эмульсии. Применительно к условиям нефтяных месторождений северо-запада Башкирии разработан метод оптимизации режима работы скважин, оборудованных ЭЦН, с учетом потерь давления на трение из-за увеличения вязкости водонефтяной смеси / 6, 7 /.

На основе опытно-исследовательских работ, проведенных в НГДУ Арганнефть, выявлено, что кинематическая вязкость жидкости находится в нелинейной зависимости от степени обводненности нефти. Максимум кинематической вязкости достигается при обводненности 55-65 %. В качестве математического прообраза зависимости вязкости от обводненности использована общезвестная функция нормального распределения (функция Гаусса), описываемая уравнением:

$$\varphi(\bar{x}, \bar{z}) = \frac{1}{2\pi} e^{-\frac{x-\bar{x}}{2z^2}}, \quad (33)$$

и графически изображенная на рис. 4.

Таким образом, качественно определяется характер зависимости вязкости от обводненности $\mu(\bar{b})$. Но для полной тождественности функций $\mu(\bar{b})$ и $\varphi(\bar{x}, \bar{z})$ одного соответствия видов зависимости недостаточно, так как параметры \bar{x} и \bar{z} , принятые различные значения, способствуют образованию семейства кривых вида $\varphi(\bar{x}, \bar{z})$, из которых нам необходима только одна кривая, которая полностью аналогична зависимости $\mu(\bar{b})$.

Для определения количественного значения параметров \bar{x} и \bar{z} необходимо иметь опытные точки, полученные в результате эксплуатации погружных ЭЦН (P_u , $Q_{эк}$, \bar{b} , H_a , $N_{год}$).

Функция нормального распределения (Гаусса)

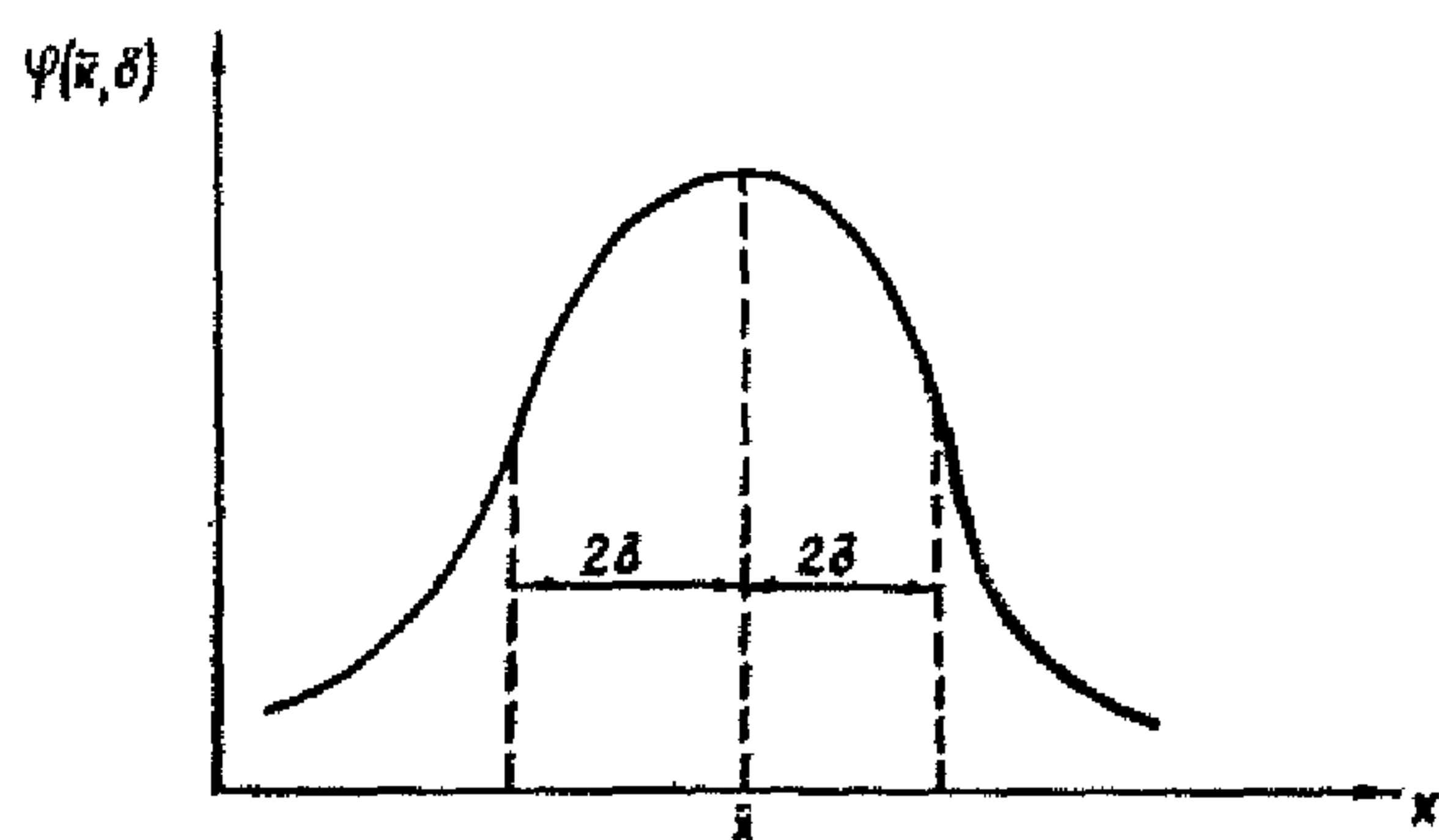


Рис. 4

Определим потери напора насоса на трение H_{tr} при подъеме вязкой жидкости при фиксированных значениях $Q_{эк}^0$, H_d^0 , $H_{под}^0$, \bar{b}^0 и P_y^0 (рис. 5). Определив значения величины H_{tr} , находим для него величины \bar{x} и \bar{y} . Найдя значения \bar{x} и \bar{y} , выбираем из семейства кривых $\varphi(\bar{x}, \bar{y})$ одну, которая полностью тождественна функции зависимости вязкости жидкости от обводненности $\mu(b) \Leftrightarrow \varphi(\bar{x}, \bar{y})$.

С учетом выявленной зависимости кинематической вязкости жидкости от обводненности нефти и на основе анализа статистических данных по эксплуатации погружных ЭЦН выведено следующее уравнение, характеризующее дополнительные потери напора насоса

$$\frac{(\bar{b} - b)^2}{450} \\ \Pi_b = 1 + \frac{1}{15\sqrt{2}\pi} e^{-\frac{(\bar{b} - b)^2}{450}}, \quad (34)$$

то есть, необходимый напор насоса вычисляется по формуле

$$F'(Q) = \left(H_d + \frac{P_y}{\rho \cdot g} \right)^\alpha \left[1 + \frac{1}{15\sqrt{2}\pi} e^{-\frac{(\bar{b} - b)^2}{450}} \right], \quad (35)$$

где $\bar{b} = 55\%$, $\alpha = 1,03$ – показатель, учитывающий потери давления в трубах.

Теоретический напор насоса определяется по формуле

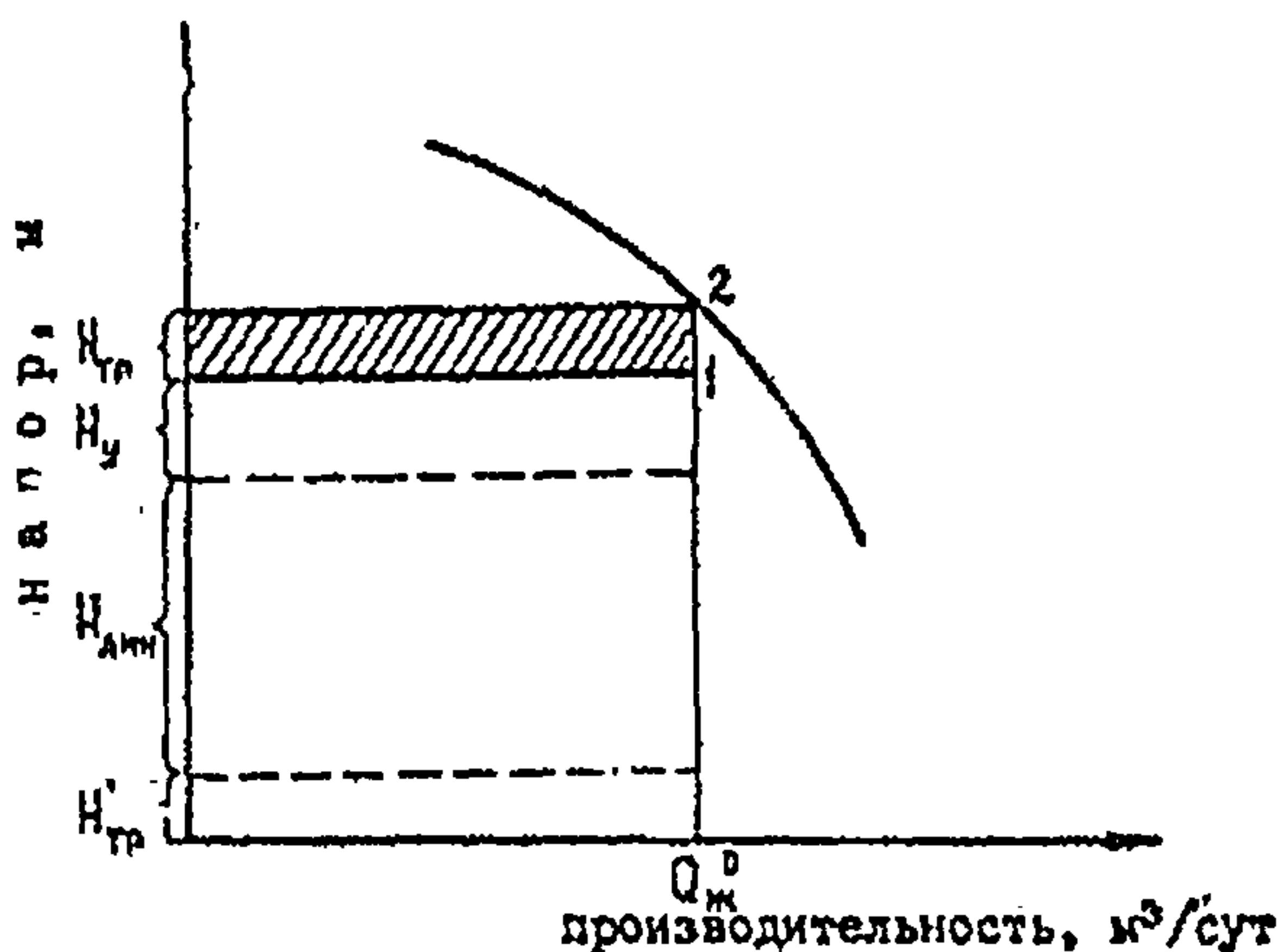
$$H_{ нас } = c_0 + c_1 Q + c_2 Q^2, \quad (36)$$

где c_0, c_1, c_2 – коэффициенты, характеризующие теоретическую производительность насоса.

Q – дебит в рабочей области, согласно характеристики насоса.

Режим работы системы скважина – насос будет определяться решением системы уравнений (35 и 36) относительно искомого

Зависимость напора от производительности УЭЦН



$H'_{тр}$ - потери напора на трение, не зависящие от обводненности

точка 2 - характеризует теоретический напор насоса при подъеме воды

точка I - характеризует фактический напор насоса при подъеме вязкой жидкости

$H_{тр}$ - потери напора на трение, зависящие от вязкости водонефтяной смеси

Рис. 5

значения дебита жидкости

$$F'(Q) = H_{\text{нас}}$$

6.1. Алгоритмы подбора УЭЦН

Выбор насоса начинается с малопроизводительного. Определяется максимальная добывная возможность скважины по формуле

$$Q_{\text{ж}} = K_{\text{пр}} (P_{\text{пл}} - P_{\text{з}}^{\text{min}}) \quad (37)$$

Скважины с $Q_{\text{ж}} < 40$ не рассматриваются. Если диаметр эксплуатационной колонны скважины меньше допустимого диаметра данного насоса, то насос также не рассматривается, $Q_{\text{ж}}$ должен попадать в интервал рабочей области насоса

$$Q_{\text{нас}}^{\text{min}} + \frac{Q_{\text{нас}} \cdot 15}{100} < Q_{\text{ж}} < Q_{\text{нас}}^{\text{max}} - \frac{Q_{\text{нас}} \cdot 15}{100}$$

Далее вычисляется напор насоса и динамический уровень по формулам (35, 36).

Глубина подвески насоса определяется по формуле

$$H_{\text{под}} = H_a + \frac{P_{\text{пр}}}{\rho_{\text{ж}} \cdot g}, \quad (38)$$

Данный насос исключается, если $H_{\text{под}} > L_{\text{скв}}$.

Если во входной информации нет данных по давлению на присмё насоса, то принимается:

- для месторождений типа Арланского

$$P_{\text{пр}} = P_y + 1,5 \geq 3,0 \text{ МПа}$$

- для девонских месторождений типа Уршакской группы

$$P_{\text{пр}} = 4,0 \text{ МПа}$$

Затем все расчеты повторяются для следующего насоса. На печать выводятся только два насоса, которые выбираются по максимальной производительности. В рекомендациях предусматривается первоочередное применение установок с минимальным поперечным размером, например, УЭЦН 5, затем УЭЦН 5А.

7. ПОДБОР ЭЦН С УЧЕТОМ ПРОСТРАНСТВЕННЫХ ПАРАМЕТРОВ СТВОЛА СКВАЖИН

- Определяется градиент пространственного угла искривления ствола скважины по п.2. Выявляются интервалы искривления эксплуатационной колонны с градиентом более 2° на 10 м для последующего использования этих данных при производстве текущего ремонта.
- Решается задача по подбору типоразмера УЭЦН и глубины ее подвески по п. 6.
- Проверяется вписываемость выбранного типоразмера УЭЦН в эксплуатационной колонне в интервале подвески по п.3. Если УЭЦН не вписывается в интервале подвески, то выбирается другой интервал, в котором выполняется условие вписываемости УЭЦН.

7.1. Входная информация и ее контроль

Входная информация присыпается в ЮИВЦ на "Бланк-заказе для скважин, планируемых к проведению ГТИ (подбор ЭЦН, ШГН)".

Обязательно наличие следующих параметров:

1. $Q_{жк}, \delta, p_n, p_b, H_{под}, L_{скв}, P_3^{min}, P_{пп}, P_y$
2. $H_{ст}$ или $P_{пл}$

Если отсутствует $P_{пл}$, то $P_{пл}$ определяется через $H_{ст}$ по формуле

$$P_{\text{пл}} = (h_{\text{скв}} - h_{\text{ст}}) \rho_{\text{см}} \cdot g, \quad (39)$$

где

$$\rho_{\text{см}} = \rho_6 \cdot b + \rho_n (1 - b) \quad (40)$$

3. Кпр или Нд

определяется по формуле

$$K_{\text{пр}} = \frac{Q}{P_{\text{пл}} - P_3},$$

где

$$P_3 = (h_{\text{скв}} - h_{\text{под}}) \rho_{\text{см}1} \cdot g + (h_{\text{под}} - h_{\text{днк}}) \rho_{\text{см}2} \cdot g \quad (41)$$

значение $\rho_{\text{см}1}$, $\rho_{\text{см}2}$ определяется по табл. 2.

Входная информация присыпается в КИБЦ на "Бланк-заказе" для скважин, планируемых к проведению ГТИ (приложения 4,5).

7.2. Описание выходного документа

1. В заголовке таблицы печатаются наименование НГДУ, номер ЦДНГ, указывается дата расчета, вид расчета.

2. В таблице на первой строчке записываются номер скважины, характеристика скважины и насоса при существующем режиме.

3. На следующих строках печатаются интервалы недопустимых градиентов искривления ствола скважин, тип предлагаемого насоса и остальные параметры.

4. В примечании печатается максимально возможный дебит при минимальном забойном давлении.

СПИСОК ИСПОЛЬЗОВАННЫХ ИСТОЧНИКОВ

1. Вахитов М.Ф. К выбору интервала установки УЭЦН в наклонно направленных и искривленных скважинах.- РНТС Нефтепромысловое дело, М., 1983, № 3, с. 9-11.
2. Гиматудинов Ш.К. Справочная книга по добыче нефти.- М.: Недра, 1974, с. 356-419.
3. Справочник по эксплуатации нефтяных месторождений.- Перевод с англ.- М.: Недра, 1965, т. 2, с. 397-410.
4. Балакирев Ю.А., Оноприенко В.П., Стрешинский И.А. и др. Оптимизация режимов работы скважин.- М.: Недра, 1981.- 221 с.
5. Применение погружных центробежных насосных установок для добычи нефти за рубежом. - Сер. Нефтепромысловое дело.- М.: ВНИИОЭНГ, 1982, вып. 4. - 43 с.
6. Галлямов М.Н., Ватталов Р.М., Узбеков Р.-Б. Установление оптимальных режимов эксплуатации скважин, оборудованных УЭЦН.- РНТС /Нефтепромысловое дело, М., 1981, № 12, с. 14.
7. Временное методическое руководство по нахождению оптимального режима работы скважин, эксплуатируемых глубинными насосами (ЭЦН, ШН).- Уфа: Башнефть. 1981.- 38 с.

СОДЕРЖАНИЕ

	Стр.
1. ОБЩИЕ ПОЛОЖЕНИЯ	3
2. МЕТОД РАСЧЕТА ПРОСТРАНСТВЕННЫХ ПАРАМЕТРОВ СТВОЛА СКВАЖИН ПО ДАННЫМ ИНКЛЮНОМЕТРИИ	6
3. ВЫБОР ИНТЕРВАЛА УСТАНОВКИ УЭЦН В НАКЛОННО НАПРАВЛЕННЫХ И ИСКРИВЛЕННЫХ СКВАЖИНАХ	11
4. ВЫБОР ПОГРУЖНОГО ЭЛЕКТРОДВИГАТЕЛЯ К УЭЦН	13
5. РАСПРЕДЕЛЕНИЕ ДАВЛЕНИЯ В НАСОСНО-КОМПРЕССОРНЫХ ТРУБАХ НЕФТЯНЫХ СКВАЖИН	14
6. МЕТОД ПОДВОРА ЭЦН ПРИ ПОДЪЕМЕ ВЯЗКОЙ ЖИДКОСТИ.....	21
7. ПОДВОР ЭЦН С УЧЕТОМ ПРОСТРАНСТВЕННЫХ ПАРАМЕТРОВ СТВОЛА СКВАЖИН	26
СПИСОК ИСПОЛЬЗОВАННЫХ ИСТОЧНИКОВ	28
ПРИЛОЖЕНИЕ 1 обязательное Максимально допустимая кривизна обсадной колонны, обеспечивающая работу УЭЦН5 и УЭЦН6А в скважине без изгиба (...'/10 м)	31
ПРИЛОЖЕНИЕ 2 обязательное Максимально допустимая кривизна обсадной колонны, обеспечивающая работу УЭЦН6 и УЭЦН6А в скважине без изгиба (...'/10 м)	32
ПРИЛОЖЕНИЕ 3 обязательное Минимально допустимая производительность УЭЦН в зависимости от типоразмера ПЭД и внутреннего диаметра обсадной колонны	33
ПРИЛОЖЕНИЕ 4 рекомендуемое Бланк-заказ для скважин, планируемых к проведению ГТМ (подбор ЭЦН, ШГН)	34

**ПРИЛОЖЕНИЕ 5
рекомендуемое**

Временная инструкция по заполнению и перфорации
входной формы для расчета оптимального режима
работы скважин, оборудованных ЕЦН с учетом
кривизны ствола скважины 35

**ПРИЛОЖЕНИЕ 6
рекомендуемое**

Контрольный пример 37

**ПРИЛОЖЕНИЕ 7
рекомендуемое**

Программное обеспечение 38

ПРИЛОЖЕНИЕ I
обязательное

Максимально допустимая кривизна обсадной колонны, обеспечивающая работу УЭЦН5 и УЭЦН5А в скважине без изгиба (...'/10 м)

Типоразмер	Минимально допустимый внутренний диаметр обсадной колонны, мм	Размеры УЭЦН, мм	Параметры обсадной колонны: (условный диаметр x толщина стенки), мм							
			попереч- н ы й размер	длина	140x9,2 I20,5	140x7,7 I23,6	140x7 I25	146x8,5 I28	146x7,7 I29,6	146x7 I31
У2ЭЦН5 - 10-1400		15953	5,0	8,2	9,7	13	14,7	16,2	17,3	
УЭЦН5 - 40-1750		18337	3,8	6,2	7,4	9,8	11,1	12,3	13,1	
У2ЭЦН5 - 80-1200		15853	5,0	8,3	9,9	13,1	14,9	16,4	17,5	
УЭЦН5 - 80-1550		18733	3,6	6,0	7,1	9,4	10,7	11,8	12,6	
УЭЦН5 - 80-1800	121,7	121,7	20417	3,0	5,0	5,9	7,9	9,0	9,9	10,6
У3ЭЦН5 - 130-1200		18033	3,9	6,4	7,6	10,2	11,5	12,7	13,5	
УЭЦН5 - 130-1400		20417	3,0	5,0	5,9	7,9	9,0	9,9	10,6	
У2ЭЦН5 - 200- 800		18033	3,9	6,4	7,6	10,2	11,5	12,7	13,5	
У1ЭЦН5А-100-1350		15903				6,1	7,6	8,7		
У1ЭЦН5А-160-1100		16518				5,7	7,1	8,1		
У2ЭЦН5А-160-1400		19303				4,1	5,2	5,9		
УЭЦН5А-160-1750		22387				3,1	3,8	4,4		
У1ЭЦН5А-250- 800		16704				5,5	6,9	7,9		
У1ЭЦН5А-250-1000	130	124	20703			3,6	4,5	5,1		
У1ЭЦН5А-250-1400		28518				1,9	2,4	2,7		
У2ЭЦН5А-350- 850		21787				3,3	4,1	4,6		
У2ЭЦН5А-360-1100		28618				1,9	2,4	2,7		
У1ЭЦН5А-500- 800		27918				2,0	2,5	2,8		

ПРИЛОЖЕНИЕ 2
обязательное

Максимально допустимая кривизна обсадной колонны, обеспечивающая
работу УЭЦНБ и УЭЦНБА в скважине без изгиба (...'/10 м)

Типоразмер	Минимально допустимый внутренний диаметр обсадной колонны, мм	Размеры УЭЦН, мм	Параметры обсадной колонны: (условный диаметр x толщина стенки внутренний диаметр), мм					
				Попереч- н ы й размер	Длина	<u>168x12,1</u> I42,6	<u>168x10,6</u> I45,6	<u>168x8,9</u> I49
У2ЭЦН6-160-I450		I76II	5,0		7,6	10,7	13,5	
У4ЭЦН6-250-I050		I7167	5,2		8,0	11,2	14,2	
У2ЭЦН6-250-I400		I9267	4,2		6,4	8,9	11,3	
УЭЦН 6-250-1600	I44,3	I37	I9967	3,9	5,9	8,3	10,5	
У2ЭЦН6-350- 850		I8467	4,5		6,9	9,7	12,3	
УЭЦН6 -350-II00		I20667	3,6		5,5	7,8	9,6	
У2ЭЦН6-500- 750		I19967	3,9		5,9	8,3	10,5	
У2ЭЦН6-350-II00		I20667	3,6		5,5	7,8	9,8	
У2ЭЦН6-500- 750		I21367	3,4		5,2	7,3	9,2	
УЭЦН6A-500-II00		I4828				2,9	4,3	
УЭЦН6A-700- 800	I48,3	I42,5	24I28			3,1	4,6	

ПРИЛОЖЕНИЕ 3
обязательное

Минимально допустимая производительность УДЦ в зависимости от типоразмера ПД и внутреннего диаметра обсадной колонны
(ТУ 26-06-916-75)

м³/сут

Типоразмер установки	Типоразмер электро- двигателя	Рабочая часть	Скорость охлажде- ния жид- кости, м/с	Размеры обсадной колонны, мм
		подача, м ³ /сут	напор, м	I40x9,2 I40x7,7 I40x7 I45x8,5 I45x7,7 I45x6,5 I68x12,1 I68x10,6 I68x8,9 I68x7,3
УДЦН5 - 40-1400				
УДЦН5 - 40-1750 ПД 20-103АБ5		25-70	1425-1015	0,085 23,6 27,9 29,9 34,9 37,3 39,4 41,0 53,5 63,6 69,4 75,0
УДЦН5 - 80-1200			1200-715	
УДЦН5 - 80-1550		60-115	1680-940	
УДЦН5 - 80-1800			1905-1030	
УЗДЦН5 - 130-1400 ПД 40-103АБ5			1330-870	0,12 33,4 39,4 42,3 49,3 52,1 55,7 57,8 82,7 89,8 98,0 105,9
УДЦН5 - 130-1400		100-152	1700-1060	
УДЦН5 - 130-1800		145-250	960-545	
У13ДЦН5А-130-1350 ПД 45-117АБ5		60-140	1480-860	0,27 62,1 68,9 73,7 129,6 145,6 164,1 181,9
У13ДЦН5А-160-1100 ПД 40-103АБ5			1225-710	0,12 52,7 55,7 57,8 82,7 89,8 98,0 105,9
У13ДЦН5А-160-1400			1560-1010	62,1 68,9 73,7 129,6 145,6 164,1 181,9
УДЦН5А-160-1750 ПД 65-117АБ5		125-205	1915-1290	0,27
У13ДЦН5А-250-680 ПД 45-117АБ5			890-490	62,1 68,9 73,7 129,6 145,6 164,1 181,9
У13ДЦН5А-250-1030 ПД 65-117АБ5		190-330	1150-610	62,1 68,9 73,7 129,6 145,6 164,1 181,9
У13ДЦН5А-250-1400 ПД 90-117АБ5			1580-950	0,75 172,6 191,3 204,8 359,9 404,4 455,8 505,4
У20ДЦН5А-360-650 ПД 65-117АБ5			950-680	0,27 62,1 68,9 73,7 129,6 145,6 164,1 181,9
У20ДЦН5А-360-1100		290-430	1280-920	
У20ДЦН5А-500-800 ПД 90-117АБ5		420-580	850-700	0,75 172,6 191,3 204,8 359,9 404,4 455,8 505,4
УДЦН6 - 160-1450 ПД 55-123АБ5		140-200	1715-1230	0,2 76,4 88,3 102,0 115,2
УДЦН6 - 250-1350			200-340	1100-820
У20ДЦН6 - 250-1400				1590-1010
УДЦН6 - 250-1600 ПД 100-123АБ5		200-320	1700-1060	
У20ДЦН6-350-350			1035-560	0,3 114,7 132,4 153,0 172,8
УДЦН6 - 350-1100		230-440	1280-700	
У20ДЦН6 - 500-750		350-650	915-455	
У20ДЦН6 - 350-1100		260-430	1170-710	
У20ДЦН6 - 500-750 ПД 100-123АБ5		420-650	860-460	0,3 114,7 132,4 153,0 172,8
УДЦН6А-500-1100		350-600	1350-600	
УДЦН6А-700-800 ПД 125-123АБ5		550-900	870-550	0,9 220,1 279,5

Продолжение приложения З

Минимально допустимая производительность УЭЦН в зависимости от типоразмера ПЭЦ и внутреннего диаметра обсадной колонны
(ТУ 26-06-916-83) $\text{м}^3/\text{сут}$

Типоразмер установки	Типоразмер электродвигателя	Рабочая часть согласно ТУ	Скорость охлаждения жидкости, м/с	Размеры обсадной колонны, мм												
				I40x9,2	I40x7,7	I40x7	I46x8,5	I46x7,7	I46x7	I46x6,5	I68x12,1	I68x10,6	I68x8,9	I68x7,3		
У9ЭЦН5- 40-I400																
У9ЭЦН5- 40-I750	ПЭД32-И03БВ5	25- 70	I425-И015 I850-И340	0,06	16,7	19,7	21,1	24,7	26,3	27,8	28,9	41,5	44,9	49,0	53,0	
У9ЭЦН5- 80-I200																
У9ЭЦН5- 80-I550		60-II5	I285- 715 I680- 940													
У9ЭЦН5- 80-I800	ПЭД45-И17ЛВ5		I905-И030	0,20	13,9	23,9	28,64	40,4	46,0	51,0	54,6	96,0	107,8	121,6	134,8	
У9ЭЦН5-130-I200			I330- 870													
У9ЭЦН5-130-I400		I00-И55	I700-И080													
У9ЭЦН5-130-I700	ПЭД63-И17ЛВ5	I00-И55	I950-И300	0,27	18,8	32,3	38,7	54,5	62,1	68,9	73,7	129,6	145,6	164,1	181,9	
У9ЭЦН5-200- 800	ПЭД45-И03БВ5	I22-250	960-550	0,30	83,5	98,5	I05,6	I23,3	I31,7	I39,2	I44,6	207,3	224,4	245,0	264,8	
У9ЭЦН5А-100-1350	ПЭД45-И17ЛВ5	80-И40	I480- 860	0,20				40,4	46,0	51,0	54,6	96,0	107,8	121,6	134,8	
У9ЭЦН5А-160-1400			I560-И040													
У9ЭЦН5А-160-I750	ПЭД63-И17БВ5	I25-205	I915-И290						54,5	62,1	68,9	73,7	129,6	145,6	164,1	181,9
У9ЭЦН5А-250-1000		I90-330	I160- 610	0,27												
У9ЭЦН5А-360- 850		290-430	950- 680													
У9ЭЦН5А-250-1400		I90-330	I580- 950													
У9ЭЦН5А-360-II100	ПЭД90-И17БВ5	290-430	I260- 920	0,65					I31,3	I49,6	I65,8	I77,5	311,9	350,5	395,1	438,09
У9ЭЦН5А-500- 800		420-580	850-700													
У9ЭЦН5А-250-1400		200-330	I590-И040													
У9ЭЦН5А-360-II100	ПЭД90-И17ЛВ5	290-430	I260- 920	0,65					I31,3	I49,6	I65,8	I77,5	311,9	350,5	395,1	438,0
У9ЭЦН5А-500- 800		420-580	850- 700													
У9ЭЦН5А-250-I700		I80-330	I890-И200													
У9ЭЦН5А-360-I400	ПЭДС125-И17БВ5	290-440	I620-И120	0,65					I31,3	I49,6	I65,8	I77,5	311,9	350,5	395,1	438,09
У9ЭЦН5А-500-1000		420-580	I020- 950													
У9ЭЦН6- 250-I050			I100- 820													
У9ЭЦН6-250- I400		200-340	I590-И040													
У9ЭЦН6- 250-I600	ПЭД90-И23БВ5	200-330	I700-И080	0,30									II4,7	132,4	153,0	172,8
У9ЭЦН6- 350-II100		250-440	I280- 700													
У9ЭЦН6- 500- 750		350-680	915- 455													
У9ЭЦН6- 500-II100		350-680	I350- 600													
У9ЭЦН6- 700- 860	ПЭДС125-И17БВ5	550-900	870- 550	0,65									311,9	350,5	395,1	438,0

ПРИЛОЖЕНИЕ 4
рекомендуемое

Б Л А Н К - З А К А З
для скважин, планируемых к проведению ГТИ (подбор ЭЦН, ШГН)

П л о д о д ь												Н о н е р с к и в а ж и н и я													
Минимальный внутренний диаметр Глубина верхних дюр перфорации												Глубина подвески насоса													
Статический уровень жидкости												Динамический уровень жидкости													
Коэффициент проницаемости												Чебит жидкости													
01	02	03	04	05	06	07	08	09	10	11	12	13	14	15	16	17	18	19	20	21	22	23	24	25	26
АРЛАН	I	1953	132	1394	1500	363	0	134	77	87	35	40		62	139	60	15	30	0	0	0	0	0	108	089

ПРИЛОЖЕНИЕ 5
рекомендуемое

ВРЕМЕННАЯ ИНСТРУКЦИЯ

по заполнению и перфорации входной формы для расчета оптимального режима работы скважин, оборудованных ЭЦН с учетом кривизны ствола скважины

Заполнение документа производится в соответствии с временным методическим руководством /2/, утвержденным в 1981 году, но с добавлением данных по кривизне ствола скважины.

Заполнение и перфорация документа производится по следующему макету:

1. Для всех скважин приславших на расчет заполняется один заголовок состоящий из:

- Шифра документа ДЕУФ
- Шифра НГДУ

2. Для каждой скважины заполняется 9 раздел, состоящий из 26 параметров в той же последовательности и с теми же правилами перфорации, которые были описаны во временной методическом руководстве.

3. Далее заполняются данные по кривизне ствола скважины в следующей последовательности:

- Глубина замеров (м)
- Угол (град.мин)
- Азимут (град)

Информация передается в КИБЦ на перфоленте.

Разделителем между параметрами является двоеточие (:).

Строка заканчивается равенством (=).

Целая часть числа от дробной отделяется точкой (.).

Признаком конца информации по скважине является закрывающая скобка ")".

ПРИМЕР ПЕРФОРАЦИИ

Прислана на расчет по 2-м скважинам

Д0007:4=

0+APACJ:I:I953:I32:I394:I300:363::I.34:77:87:ЭДН5:40::62:I39:60:I5:30=

I.08:0.89=

50:0.I5:I80=

I60:0.I5:I80=

I10:0.I6:I82=

I20:I.I:I90=

I30:I.5:I90=

I40:2.I:I90=

.

.

.

I370:I0.5:300=

I380:I0.9:30I=

I390:II:300)

0+APACJ:2:733:I30:2400:4620:577:0:5.9:59:I0:ЭДН:80::52:I60:I32:I8:

I8:::::I.I8:0.875=

I0:0.I5:I8=

20:0.I5:I9=

30:0.I6:I9=

40:0.2:I9=

70:0.3:I9=

90:I.I:20=

.

.

.

2380:I5:300=

2390:20:300=

2400:2I:30I)

ПРИЛОЖЕНИЕ 6
рекомендуемое

Технологический режим скважин (перевод на ЭЦН)

Площадь скважины	Глубина верхних дыр пер- фораций, м	Предыдущий / расчетный режим												Примечание
		Глу- бина под- кости, м	Дебит ти п- вес- насоса, кг/с	Дебит жид- ности, м ³ /сут	Динами- ческий уров- ень, м	Об- вод- нен- ность, %	Пласто- вое давле- ние, атм	Давле- ние на устье, атм	Удельный вес нефти, г/см ³	Удельный вес воды, г/см ³	Коэффи- циент продук- тивнос- ти, м ³ сут/атм			
01	02	03	04	05	06	07	08	09	10	11	12	13	14	
Н-ХАЗ. 5081	1272 132	ЭЦН 350	И189	260	198	450	24	128	20.0	0.89	1.107	5.92		Рпр=40атм

Реком.
режим

НА ГЛУБИНЕ= 800.0 НЕДОПУСТИМОЕ ИСКРИВЛЕНИЕ= 3.74

НА ГЛУБИНЕ= 815.0 НЕДОПУСТИМОЕ ИСКРИВЛЕНИЕ= 2.47

НА ГЛУБИНЕ= 830.0 НЕДОПУСТИМОЕ ИСКРИВЛЕНИЕ= 2.72

НА ГЛУБИНЕ= 840.0 НЕДОПУСТИМОЕ ИСКРИВЛЕНИЕ= 2.69

НА ГЛУБИНЕ= 1270.0 НЕДОПУСТИМОЕ ИСКРИВЛЕНИЕ= 6.11

НА ГЛУБИНЕ= 1280.0 НЕДОПУСТИМОЕ ИСКРИВЛЕНИЕ= 7.85

:ЭЦН5А-360-И100:1097:423:322:672: коэффициент подачи = 1.18

:ЭЦН5А-500- 800:1071:409:311:646: коэффициент подачи = 0.82

Макс. возм.
дебит = 426
при мин.
Рзаб = 56

ПРИЛОЖЕНИЕ 7
рекомендуемое

ПАСПОРТ ПРОГРАММЫ:

"Расчет оптимального режима работы скважин, оборудованных УЭЦН, с учетом пространственных параметров ствола скважин"

КРАТКОЕ НАИМЕНОВАНИЕ ПРОГРАММЫ:	"IZK"
НАЗНАЧЕНИЕ ПРОГРАММЫ:	По программе проводится расчет оптимального режима работы скважин и подбор оборудования, при этом учитывается искривление ствола скважины.
ЯЗЫК ПРОГРАММИРОВАНИЯ:	PL/I
ОБЪЕМ ОП:	250К
ПЕРЕЧЕНЬ ВНЕШНИХ УСТРОЙСТВ:	МД, АЦПУ, перфоленточный вывод
ПОДПРОГРАММЫ:	"SCHAPKA", "KOP", "KOP1", "CKB", "VAS", "PRIR", "PROWE", "POD PR"
ИСХОДНЫЕ ДАННЫЕ:	файл информации по скважинам - "IZN", справочный файл "SPRIZN".
РЕЗУЛЬТАТЫ:	Таблицы: "Технологический режим скважин, оборудованных ЭЦН", которые выводятся на АЦПУ и П/Л.
КРАТКИЙ АЛГОРИТМ:	Программа рекомендует для каждой скважины два ЭЦН с оптимальными режимами. "SCHAPKA" выводит на АЦПУ и П/Л шапку таблицы. Подпрограммы-процедуры "KOP" и "KOP1" рассчитывают добывную возможность скважины с учетом потерь напора на трение в НКТ и без учета трения, "CKB" выводит на АЦПУ и П/Л существующий режим скважины. На П/Л результаты выводятся стандартной программой вывода "VAS". Подпрограмма "PRIR" проводит разбиение скважины на 10 метровые интервалы. Подпрограмма "PROWE" производит вычисление и проверку кривизны ствола скважины по интервалам. Подпрограмма "POD PR" производит проверку кривизны ствола скважины в интервале подвески УЭЦН.

STMT LEVEL NEST

43

```

2 B11      FIXED(2);
2 B13      FIXED(3);
2 SK       FIXED(3,2);
2 NK       FIXED(2,1);
2 LS1      FIXED(4);
2 LS2      FIXED(4);
2 LS3      FIXED(4);
2 B6       FIXED(4,3);
2 B5       FIXED(4,3);
2 KRIN(228,3) FIXED(6,2);

27    1      DCL I X;
           2 ((X28,X29,X1,X2,X3,X4,X5+X6,X7,X8,X9,X10,X11,X12,X13,
                X14,X15+X16,Y17,X18,X19,X20,X21,X22,X23,X24,X25,
                X26,X27)228,3) CHAR(10);

28    1      DCL B1 FLOAT(5);
/*===== ОБЪЯВЛЕНИЯ ДЛЯ КРИВИЗНЫ =====*/
29    1      DCL (OL,DAZ) FIXED(4);
30    1      DCL LUDA FIXED(2);
31    1      JCL (YKRL11,ALFPL,NNNN) CHAR(4);
32    1      DCL (OSI,OSI1,GR1,AZ1) FLOAT(10);
33    1      DCL (INKR1(228,3),NK;1(228,3)) FLOAT(10);
34    1      DCL (ALFA1,RAD,ALF1,PRD0,FUNK) FLOAT(10);
35    1      DCL KRYA FLOAT(5);
36    1      DCL (RI1,AL) FLOAT(10);
37    1      DCL (OIB,PKR1,DLNA) FIXED(5);
38    1      ON ENDFILE(IZN) GOTO EEE;
40    1      ON ERROR BEGIN INPUT SKIP LIST("КОД ОШИБКИ",ONCODE);
43    2      GOTO BB1ENO;
44    1      NODNG=0;
45    1      MK1=0;
47    1      EN#0;
48    1      OPEN FILE(SPRIZN);
49    1      OPEN FILE(IZN) INPUT;
50    1      DO I=1 TO 29;
           1      READ FILE(SPRIZN) INTO (MASK);
51    1      1      OOB(I,1)=DOB1;
52    1      1      DO J=1 TO 6;
           2      A(I,J)=ASK(J);
53    1      2      END;
54    1      1      END;
55    1      K=0;
56    1      J=1;
57    1      G0: ;
58    1      ON ENDFILE(IZN) GOTO EEE;
59    1      NN=1000;
60    1      B0: ;
61    1      READ FILE(IZN) INTO(DAN);
/*====='=====*/
62    1      SCHIFR=SGU;
63    1      IF SCHIFR=1 THEN NGDU="УГААЗАНЕФТЬ";
64    1      IF SCHIFR=2 THEN NGDU="ОКТАБРЬСКНЕФТЬ";
65    1      IF SCHIFR=3 THEN NGDU="АКСАКОВНЕФТЬ";
66    1      IF SCHIFR=4 THEN NGDU="ИШИМБАЙНЕФТЬ";
67    1      IF SCHIFR=5 THEN NGDU="АРЛАННЕФТЬ";
68    1      IF SCHIFR=6 THEN NGDU="ОЖАРЛАННЕФТЬ";
69    1      IF SCHIFR=7 THEN NGDU="ЧЕКМАРУШНЕФТЬ";
70    1      IF SCHIFR=8 THEN NGDU="КРАСНОХОЛМСКНЕФТЬ";
71    1      IF SCHIFR=9 THEN NGDU="УФАНЕФТЬ";
/*=====*/
/*== ВЫЧИСЛЕНИЕ К ПРОД. И Р ПЛАСТ ==*/
17410 PROCEDURE OPTONS(NAINP);

```

STMT LEVEL NEST

2/4

```

84    1          L=(B6*B2)+B5*(B2-B1)/100;
85    1          IF B7=0 THEN B7=(B3-B4)*L/100;
86    1          IF B9<0 THEN B9=B01/(F7+(B10-B3)*L)/100;
87    1          IF B13<0 THEN D01B13=B11+150;
88    1          IF B13>30 THEN B13=30;
89    1          END;
90    1          ****
91    1          KUKU=0;
92    1          C=B9*(B7-B12);
93    1          IF C>000 THEN B12=B01;
94    1          B1=0;
95    1          X=DANI;
96    1          X121=SUBSTR(X12,1,5);
97    1          XX(1)=SUBSTR(X13,4,5);
98    1          XX(2)=SUBSTR(X6,4,5);
99    1          PUT STRING(XX(3)) EDIT(B01)(F(5));
100   1          XX(4)=SUBSTR(X7,4,5);
101   1          XX(5)=SUBSTR(X11,1,5);
102   1          XX(6)=SUBSTR(X16,4,5);
103   1          XX(7)=SUBSTR(X18,3,5);
104   1          XX(8)=SUBSTR(X26,3,5);
105   1          XX(9)=SUBSTR(X25,3,5);
106   1          XX(10)=SUBSTR(X9,4,5);
107   1          XX(11)=SUBSTR(X17,4,5);
108   1          XX(12)=SUBSTR(X19,4,5);
109   1          DONAS=DNAS;
110   1          B141=B141|DONAS;
111   1          IF CONG=CONG THEN GO TO NE1;
112   1          ELSE D01;
113   1          CALL SCHAPKA;
114   1          NCONG=CONG;
115   1          END;
116   1          NE1;
117   1          NW1;
118   1          L01;
119   1          C=B9*(B7-B12);
120   1          PUT STRING(C01) EDIT(C)(F(5));
121   1          CALL CK01;
122   1          CALL PR1R1;
123   1          IF KUKU=0 THEN CALL PR0NE1;
124   1          EO1;
125   1          I=1;
126   1          /* ДЕБИТ СКВ. НАКО. */
127   1          C=B9*(B7-B12);
128   1          IF C<40 THEN D01;
129   1          IF C < 0 THEN D01;
130   1          PUT EDIT("ОШИБКА В ИСХОДНЫХ ДАННЫХ") (SKIP,00L(10) );
131   1          PUT EDIT((120) "-") (SKIP,A);
132   1          GO TO CO1;
133   1          END;
134   1          PUT EDIT("РЕКОМЕНДУЕТСЯ УГН") (SKIP,COL(10),A);
135   1          PUT EDIT("ДЕБИТ=",C) (SKIP(0),COL(110),A(6),F(4));
136   1          PUT EDIT("ПРИ МИН.") (SKIP,COL(110),A(6));
137   1          PUT EDIT("ПРЗАВ.=",B12,"") (SKIP,COL(100),A(7),F(3),X(2),A);
138   1          PUT EDIT((120) "-") (SKIP,A);
139   1          POLE="РЕКОМЕНДУЕТСЯ УГН"      "||((119) "-") ||"-";
140   1          CALL VAS(POLE);
141   1          POLE=" ";
142   1          GO TO CO1;
143   1          END;
144   1          IZN1: PROCEDURE OPTIONS(HAINIT);

```

```

153   1      /* СРАВНЕНИЕ ДИАМЕТРОВ НАСОСА И СКВ. */
154   1      COI IF B15<AT(1,6) THEN GO TO MM;
155   1      ELSE GO TO FF;
156   1      FF: K=K+1;
157   1      /* ВЫЧИСЛЕНИЕ КОРНЕЙ */
158   1      CALL K0P1;
159   1      CALL K0P1;
160   1      IF DEB(1)<=0 THEN GOTO MM;
161   1      IF DEB(1)>C THEN GOTO MM;
162   1      IF P(1,1)>C THEN GOTO MM;
163   1      /* ВЫЧИСЛЕНИЕ НАПОРА НАСОСА */
164   1      T(1,1)=F1*AT(1,2)*P(1,1)+AT(1,3)*P(1,1)*e2;
165   1      /* ВЫЧИСЛЕНИЕ ЛИНЕАР. УРОВНЯ СКВ. */
166   1      S(1,1)=B3-(B7-DEB(1)/B9)*1.1/L;
167   1      /* ВЫЧИСЛЕНИЕ НЕДБХ. НАПОРА НАСОСА */
168   1      Q=S(1,1);
169   1      H(1,1)=S(1,1)+(B13*B1)/L;
170   1      IF H(1,1)>B3 THEN GO TO MM;
171   1      IF H(1,1)<4950 THEN DO;
172   1      A=B13*(4950-H(1,1))/L/10;
173   1      H(1,1)=4950+A;
174   1      END;
175   1      PPI: P0E=P(1,1)-P(1,1)*(B2/100)^2;
176   1      IF DFB(1)>(A(1,4)-A(1,4)/15) THEN IF
177   1      DEB(1)<(A(1,5)+A(1,5)/15) THEN GO TO TT;
178   1      GO TO MM;
179   1      TT: ;
180   1      R(1,1)=DEB(1);
181   1      IF R(1,1)>C THEN R(1,1)=0;
182   1      MM: I=I+1;
183   1      /* IF I=5 THEN I=I+1;
184   1      IF I=7 THEN I=I+1; */
185   1      /* IF I=16 THEN I=30; */
186   1      /* IF I=30 THEN DO; */
187   1      KO: Z=0;
188   1      R1=R(1,29);
189   1      DO I=1 TO 28;
190   1      K=79-I;
191   1      IF R1< R(1,K) THEN DO;
192   1      R1=R(1,K); Z=K;
193   1      END;
194   1      END;
195   1      I=Z;
196   1      IF EN=1 THEN IF R1>0 THEN DO;
197   1      POLE=((119)-"111"z");
198   1      CALL VAS(POLE);
199   1      POLE=" ";
200   1      PUT EDIT((120)"-") SKIP,A);
201   1      EN=0;
202   1      GO TO CC;
203   1      ENO;
204   1      IF R1>0 THEN DO;
205   1      PUT EDIT("134Н НЕ РЕКОМЕНДУЕТСЯ УТОЧНИТЬ ИСХОДНЫЕ") SKIP,A);
206   1      PUT EDIT((120)"-") SKIP,A);
207   1      POLE=" " ОЧН НЕ РЕКОМЕНДУЕТСЯ УТОЧНИТЬ ИСХОДНЫЕ ДАННЫЕ "111"";
208   1      CALL VAS(POLE);
209   1      POLE=" ";
210   1      EN=0;
211   1      GO TO CCEND;
212   1      12N11 ПРОГРАММЫ ПРЯМОУГОЛЬНИКА

```

STMT LEVEL NFST

```

219   1   1      IF R1<B1 THEN DO|PUT EDIT("РЕЖИМ НЕ ОПТИМАЛЕН")
222   1   2      (SKIP,A); POLE="!РЕЖИМ НЕ ОПТИМАЛЕН"||"**"
223   1   2      ((128)**)(SKIP,A);
224   1   2      CALL VAS(POLE);
225   1   2      POLE=" ";
226   1   1      KP=DEB(1)/(A(1,4)+A(1,5))/2;
227   1   1      DH=DEB(1)-(DEB(1)*B2)/100;
228   1   1      PUT STRING(DH) EDIT(DH||(F(5)));
229   1   1      PUT STRING(K12) EDIT(K12||(F(5)));
230   1   1      PUT STRING(DEB11) EDIT(DEB(1)||F(8));
231   1   1      PUT STRING(S12) EDIT(S12||(F(5)));
232   1   1      CALL POOPR;
233   1   1      IF EN=0 THEN DO|
234   1   2      PUT EDIT("!", "НАКС, ВОЗМ. ||(SKIP,A,X(1#6),A(13))";
235   1   2      ENDI;
236   1   1      PUT EDIT("!", "008(1,1),", "||,M(1,1),", "||,DEB(1),", "||,DH,",
237   1   1      "||,S(1,1),", "||,
238   1   1      "||,X03*ИЦИЕНТ ПОДАЧИ ", "||,KP, "||, "||,SKP,A,X(2),A,A(14),A,F(4),X(1),A,
239   1   1      F(3),X(2),A,X(2),F(3),X(1),A,F(4),A,X(1),A,(2#),F(6,2),X(1),A,X(1),A);
239   1   1      POLE=((127)**)(DOB(1,1))"||H1211"||DEB11||DH11||"||S1211"
239   1   1      "||";
240   1   1      CALL VAS(POLE);
241   1   1      POLE=" ";
242   1   1      IF EN=1 THEN GO TO RTI;
243   1   1      PUT EDIT("AEBAT=", C)(SKIP(B),COL(11#),A(6),F(4));
244   1   1      RTI;
245   1   1      IF EN=1 THEN DO|
246   1   2      PUT EDIT("ПРИ МИН.", )(SKIP(B),COL(11#),A(8));
247   1   2      PUT EDIT("РЗАБ, ", B12,"||)(SKIP,COL(1#),A(7),F(3),X(2),A);
248   1   2      PUT EDIT((128)**)(SKIP,A);
249   1   2      POLE=((119)**)||"**";
250   1   2      CALL VAS(POLE);
251   1   2      POLE=" ";
252   1   2      ENDI;
253   1   2      END;
254   1   1      R1J,1=0; EN=EN+1;
255   1   1      IF EN=1 THEN GO TO KO1;
256   1   1      EN=0;
257   1   1      ENDI;
258   1   1      ELSE GO TO CO1;
259   1   1      CO1 J=J+1;
260   1   1      IF J>NN THEN GO TO EE1;
261   1   1      ELSE GO TO BB1;
262   1   1      KOP: PROCEDURE;
263   2   1      F1=A(1,1)-A(1,1)/10;
264   2   1      S01=1+(2,71*((55-B2)**2)/(-458))/((15*(4,28**0,5)));
265   2   1      GRL=1#; GRP=700;
266   2   1      AK1; POL=(GRP+GRL)/2;
267   2   2      BT=(ABS(B3-(B7-POL/89)*1#L)**1,03)+S01;
268   2   2      BT=BT-F1-A(1,2)*POL-A(1,3)*(POL**2);
269   2   2      AT=(ABS(B3-(B7-GRL/89)*1#L)**1,03)+S01;
270   2   2      AT=AT-F1-A(1,2)*GRL-A(1,3)*(GRL**2);
271   2   2      CT=(ABS(B3-(B7-GRP/89)*1#L)**1,03)+S01;
272   2   2      CT=CT-F1-A(1,2)*GRP-A(1,3)*(GRP**2);
273   2   2      IF BT=0 THEN DO| P(1,1)=POL| GO TO AKK; ENDI;
274   2   2      IF AT>BT>0 THEN GO T_ AK1;
275   2   2      ELSE DO| IF ABS(AT-BT)<0,0001 THEN DO| P(1,1)=GRL| GO TO AKK; ENDI;
276   2   2      GRP=POL; GO TO AK1 ENDI;
277   2   2      AK1:;
278   2   2      IF CT>BT<0 THEN DO| IF ABS(CT-BT)<0,0001 THEN DO| P(1,1)=GRP| GO TO
279   2   2      AKK; ENDI; GRL=POL; GO TO AK1 ENDI;
280   2   2      AKK1: PROCEDURE OPTIONS(MATH);

```

3102 LEVEL(NEST)

```

305 2      A(K)=A;
306 2      IF P(I,1)>C THEN GO TO MM;
307 2      DCR(I)=P(I,1);
308 2      END;
309 2      KOP1: PROCEDURE;
310 1      F1=A(I,I)-A(I,1)/10;
311 2      D=B9*L1;
312 2      H=A(I,I)*L1;
313 2      G=A(I,I)-10*B111/L1;
314 2      F2=F1-(10*B111)/L1;
315 2      U=F7-B3+(10*B7)/L1;
316 2      DISC=G**2 -4*H*U;
317 2      ON ZERODIVIDE GOTO MM;
318 2      E=-G/(2*H);
319 2      IF DISC>0 THEN DO;
320 2          ROOT1=E; ROOT2=E; END;
321 2      ELSE DO;
322 2          IF DISC>0 THEN DO;
323 2              F=SQR(DISC)/(2*H);
324 2              ACOT1=E+F; ACOT2=E-F;
325 2              END;
326 2          ELSE GO TO MM; END;
327 2          IF ACOT1<0 THEN IF ACOT2<0 THEN GO TO MM;
328 2          IF ACOT1>ACOT2 THEN DO;
329 2              P(I,1)=ACOT1; END;
330 2          ELSE DO;
331 2              P(I,1)=ACOT2; END;
332 2          IF P(I,1)>D THEN GO TO MM;
333 2          END;
334 2          IF P(I,1)>D THEN DO;
335 2              IF ROOT1>ROOT2 THEN DO;
336 2                  P(I,1)=ROOT1; END;
337 2                  ELSE DO;
338 2                      P(I,1)=ROOT2; END;
339 2                  IF P(I,1)>D THEN GO TO MM;
340 2                  END;
341 2          END;
342 2          PRIR: PROCEDURE;
343 2          /****** РАЗБИЕНИЕ ГЛУБИНЫ СКВАЖИНЫ НА 10 МЕТР. ИНТЕРВАЛЫ *****/
344 2          /****** NKRI(I,J)=0; NK1(I,J)=0; NK1(I,J)=KR1W(I,J); *****/
345 2          DO I=1 TO 220;
346 2              NKRI(I,1)=0;
347 2              END;
348 2              NKRI(1,1)=0;
349 2              NKRI(1,*)=KR1W(1,*);
350 2              NKRI(*,1)=KR1W(*,1);
351 2              NKRI(*,*)=KR1W(*,*);
352 2              DO 'I=1 TO 220 WHILE(KR1W(I,I)=0);
353 2                  K=I;
354 2                  DL=KR1W(I+1,I)-KR1W(I,I);
355 2                  /* ДЛИНА ИНТЕРВАЛОВ >10 м */
356 2                  IF DL>10 THEN
357 2                      DO;
358 2                          NK1(I,I,*)=KR1W(I,I,*);
359 2                          DAZ=ABS(KR1W(I,I+3)-NK1(I,K,3));
360 2                          ISE=KR1W(I,I+1,2);
361 2                          O5I=KR1W(I,I+1,2)-ISE;
362 2                          ISE=ISE+60+O5I;
363 2                          ISE1=NK1(I,K+2);
364 2                          O5I1=NK1(I,K,2)-ISE1;
365 2                          ISE1=ISE1+60+O5I1;
366 2                          DUG=ABS(ISE-ISE1);
367 2                          GR1=(DUG/DL)*10; AZ1=(DAZ/DL)*10;
368 2                          NKRI(K+1,I)=NK1(I,K,I)+AZ1;
369 2                          IF ISE1>ISE THEN NKRI(K+1,2)=NK1(I,K,2)-GR1/60;
370 2                          ELSE NKRI(K+1,2)=NK1(I,K,2)+GR1/60;
371 2                          /* PUT SKIP LIST(KR1W(K+1,3),NK1(I,K,3),DAZ); */
372 2                          IF KR1W(K+1,3)>NK1(I,K,3) THEN NKRI(K+1,3)=NK1(I,K,3)+AZ1;
373 2                          ELSE NKRI(K+1,3)=NK1(I,K,3)-AZ1;
374 2                          IF KR1W(K+1,1)-NKRI(K+1,1)>10 THEN
375 2
376 2
377 2
378 2
17N1: PROCEDURE OPT1ONS(MATN);

```

SYMT LEVEL NEST

4/6

```

379   2   2          001
380   2   3          K=K+1;
381   2   3          NKRI(K,*)=NKRI(K,*)+
382   2   3          GOTO 001;
383   2   3          ENDI;
384   2   2          ENDI;
385   2   1          /* ДЛИНА ИНТЕРВАЛА < 10 м */
386   2   1          IF DL<10 THEN
387   2   1          001;
388   2   2          IMMA=0;
389   2   2          DO MI=2 TO 2P WHILE(IMMA=0){
390   2   3          LLO=KRIN(II+MI,1)-KRIN(II,1);
391   2   3          IF LLO>=10 THEN 001;
392   2   4          NKRI(II+1,*)=KRIN(II+MI,*);
393   2   4          IMMA=1;ENDI;
394   2   3          ENDI;
395   2   3          ENDI;
396   2   2          /* ДЛИНА ИНТЕРВАЛА=10 м */
397   2   1          IF DL=10 THEN NKRI(II+1,*)=KRIN(II+1,*);
398   2   1          ENDI/* КОНЕЦ ЦИКЛА ПО РАЗБИЕНИЮ ГЛУБИНЫ */;
399   2   1          ENDI/* КОНЕЦ П/ПРОГРАММЫ */;
400   2           PROCEDURE;
401   1           PROCEDURE;
402   2           KOKU();
403   2           R11=180/3.1415926589793;
404   2           DO II=1 TO 220 WHILE(NKRI(II,1)>0);
405   2           IH=IK=NKRI(II,2);
406   2           AL=ENKR(II,2)-IH;
407   2           AL=AL*0.016667;
408   2           AL=IMIK+AL;
409   2           NKRI(II,2)=AL;
410   2           AAA=3.1415926589793/100;
411   2           NKRI(II,2)=NKRI(II,2)*AAA;
412   2           NKRI(II,3)=NKRI(II,3)*AAA;
413   2           ENDI;
414   2           NFLA=0;
415   2           DO II=1 TO 220 WHILE(NFLA=0);
416   2           IF NKRI(II,1)=0 THEN DO NFLA=1;GOTO METO;ENDI;
417   2           DLINA=NKRI(II+1,1)-NKRI(II,1);
418   2           IF DLINA=0 THEN GOTO METO;
419   2           ALFA=COS(NKRI(II+1,2))*COS(NKRI(II,1))+SIN(NKRI(II+1,2))*;
420           SIN(NKRI(II,2))*COS(NKRI(II,3))-NKRI(II+1,3));
421           ALFA=ABS(CSQRT(1-ALFA**2))/ALFA;;
422           ALFA=ATAN(ALFA);
423           ALFA=ALFA*R11*10/DLINA;
424           IF ALFA>2 THEN DO;
425           PUT EDIT('1','0 ИНТЕРВАЛЕ ','NKRI(II,1),'~','NKRI(II+1,1)');
426           'НЕДОПУСТИМОЕ ИСКРИВЛЕНИЕ ','ALFA+',F(6,2));
427           (SKIP+A,X(29)+A,F(5),A,F(5),X(4),A,F(6,2),X(24),A,X(11),A);
428           PUT STRING(INNN) EDIT(NKRI(II,1)) (F(6));
429           PUT STRING(NKR11) EDIT(NKRI(II+1,1)) (F(6));
430           PUT STRING(ALFPL) EDIT(ALFA) (F(6,2));
431           POLE=((20)*'1111') ИНТЕРВАЛЕ ('1INNNNE1'~?'1NKR1111');
432           'НЕДОПУСТИМОЕ ИСКРИВЛЕНИЕ'(1ALFPL)~?';
433           CALL YASIPOLE);
434           POLE=' ';
435           ENDI;
436           METO();
437           ENDI;
438           TZN1: PROCEDURE OPTIONS(MAIN);

```

STATE LEVEL NEST

```

430    2   1
440    2   1      ENDI
441    1   1      ENDOI /* КОНЕЦ П/ПРОГРАММЫ */
442    2   1      PROCEDURE:
443    2   1      /* *****/
444    2   1      /* ПРОВЕРКА КРИВИЦЫ В ИНТЕРВАЛЕ УСТАНОВКИ НАСОСА */
445    2   1      /* *****/
446    2   1      RPOD=HII(1);
447    2   1      RII(1)=188/3.1415926589793;
448    2   1      R00H=RII;
449    2   1      DO I=1 TO 220 WHILE(NODN=0);
450    2   1      IF NKRI(II,1)>=RPOD THEN
451    2   1      DOI
452    2   2      ALF1=0.035*(NKRI(II+2,1)*COS(NKRI(II,2))+
453    2   2      (SIN(NKRI(II+2,2))+5)*NKRI(II,2)*COS(NKRI(II,3))-NKRI(II+2,3));
454    2   2      LDALF1;
455    2   2      IF LDALF1 THEN ALF1=ALF1+0.005;
456    2   2      ALF1=ABS((SQR(II-ALF1)*2)/ALF1);
457    2   2      ALF1=ATAN(ALF1);
458    2   2      ALF1=ALF1*RII(1)*10/(NKRI(II+2,1)-NKRI(II,1));
459    2   2      RAD=3600/(ALF1*6.2831853);
460    2   2      T=4RK*409.4592/10.309*ABS(P15-128);
461    2   2      IF RAD>=TUNR THEN NOOH=1;
462    2   2      ELSE DOI;
463    2   3      IF NKRI(II,1)>=(B3+40) THEN
464    2   3      DOI;
465    2   4      400H=II;
466    2   4      PUT EDIT(II,';"0 МЕСТЕ ПОДВЕСКИ НАСОСА ЖЕСТКИЕ");
467    2   4      /*УСЛОВИЯ РАБОТЫ НАСОСА НЕ ВЛАСТИВАЮТСЯ,";"*/
468    2   4      (SKIP,A,X(29),A,A,X(17),A);
469    2   4      POLE=((32)*"111"0 МЕСТЕ ПОДВЕСКИ НАСОСА ЖЕСТКИЕ УСЛОВИЯ РАБОТЫ.");
470    2   4      /*"НАСОС НЕ ВЛАСТИВАЮТСЯ,";"*/
471    2   4      CALL VAS(POLE);
472    2   4      POLE=" ";
473    2   4      ENDI;
474    2   3      ENDI;
475    2   3      ENDOI /*КОНЕЦ П/ПРОГРАММЫ*/
476    2   3      /* *****/
477    1   1      CKBT PROCEDURE;
478    2   1      DH = B1 - B2/128 ;
479    2   1      PUT STRING(DH) EDIT(DH)(F(5));
480    2   1      POLE=X(1)((10)*"11X511" "11XX(111)*"11XX(2)11" "11
481    2   1      XX(3)11" "110H11" "11XX(4)11" "11XX(5)11" "11XX(6)11" "11
482    2   1      XX(7)11XX(8)11" "11XX(9)11" "11XX(10)11" "11C811" "11
483    2   1      XX(11)11" "11x311((17)" "111X411((78)" "111XX(12)11
484    2   1      " " "11119" "11117" "11
485    2   2      CALL VAS(POLE);
486    2   2      POLE=" ";
487    2   2      PUT EDIT(";" ,SPL,";" ,B3,";" ,B141,";" ,B4,";" ,B1,";" ,DH,";" ,B10,";" ,B2,";" ,
488    2   2      " ,B7,";" ,B11,";" ,B5,";" ,B6,";" ,B9,";" ,B1) (SKIP,A,X(3),A(14),X(3),A,
489    2   2      X(1),F(4),X(2),A,A(14),A,F(4),X(1),A,X(1),F(3),X(1),A,X(2),F(4)+A,
490    2   2      F(4),A,X(1),F(3),X(1),A,X(1),F(3),X(1),A,X(1),F(4+1)+A,X(1),F(4+2),A,
491    2   2      F(5,3),A,X(1),F(5,2),X(2),A,X(1),A);
492    2   2      PUT POLE(";" ,B16,";" ,B15,";" ,B17,";" ,B18,";" ,B19,";" ,B20,";" ,B21,";" ,
493    2   2      " ,B22,";" ,B11,";" ,B5,";" ,B6,";" ,B9,";" ,B1) (SKIP,A,X(3),A(5),X(2),A,X(2),F(3),X(2),A,X(14),A,X(5),A,X(5),A,
494    2   2      X(6),A,X(4),A,X(5),A,X(5),A,X(5),A,X(5),A,X(8),A,X(11),A);
495    2   2      PUT EDIT("PORE=" ,B13,";" ,ATM) (SKIP(8),COL(110),A(4),F(3),A(3));
496    2   2      PUT EDIT(";" ,PEKOM, PEKIM,";" ) (SKIP,A(16),X(103),A);
497    2   2      ENDI;
498    2   2      /* *****/
IZN1: PROCEDURE OPTION$MAIN();

```


STMT LEVEL NEST

```

516 2      PUT EDIT(128)/*/) (SKIP,A);
517 2      END;
518 1      PUT EDIT("//END") (SKIP,A);
519 1      EE: CLOSE FILE(SPRIZN);CLOSE FILE(IZN);END;
          ZN1: PROCEDURE OPTIONS(HALT);

```

PAGE 12

STORAGE REQUIREMENTS.
 =====

THE STORAGE AREA FOR THE PROCEDURE LABELLED IZN1 IS 61948 BYTES LONG.
 THE STORAGE AREA FOR THE ON UNIT AT STATEMENT NO. 30 IS 164 BYTES LONG.
 THE STORAGE AREA FOR THE ON UNIT AT STATEMENT NO. 41 IS 164 BYTES LONG.
 THE STORAGE AREA FOR THE ON UNIT AT STATEMENT NO. 60 IS 164 BYTES LONG.
 THE STORAGE AREA (IN STATIC) FOR THE PROCEDURE LABELLED KOP IS 244 BYTES LONG,
 THE STORAGE AREA (IN STATIC) FOR THE PROCEDURE LABELLED KOP1 IS 244 BYTES LONG.
 THE STORAGE AREA FOR THE ON UNIT AT STATEMENT NO. 310 IS 164 BYTES LONG.
 THE STORAGE AREA (IN STATIC) FOR THE PROCEDURE LABELLED PRTR IS 252 BYTES LONG.
 THE STORAGE AREA (IN STATIC) FOR THE PROCEDURE LABELLED PROWE IS 268 BYTES LONG,
 THE STORAGE AREA (IN STATIC) FOR THE PROCEDURE LABELLED POOPR IS 268 BYTES LONG,
 THE STORAGE AREA FOR THE PROCEDURE LABELLED CKB IS 640 BYTES LONG,
 THE STORAGE AREA (IN STATIC) FOR THE PROCEDURE LABELLED SCHAPKA IS 544 BYTES LONG,
 THE PROGRAM CSECT IS NAMED IZN1 AND IS 31226 BYTES LONG.
 THE STATIC CSECT IS NAMED ***IZN1A AND IS 7800 BYTES LONG.

STATISTICS SOURCE RECORDS # 545,PROG TEXT SYMNTS # 521,OBJECT BYTES # 31226
17M11 1988-02-22 14:45:14.000

5.2

Ответственная за выпуск Архангельская А.А.
Редакторы Морозова Л.В., Хуравлева А.Г.

ПОЗИЦИЯ Заказ № 90 Тираж 200 экз.

450077, Уфа, ул. Ленина, 86. Башнипинефть, группа множительных
машин.